

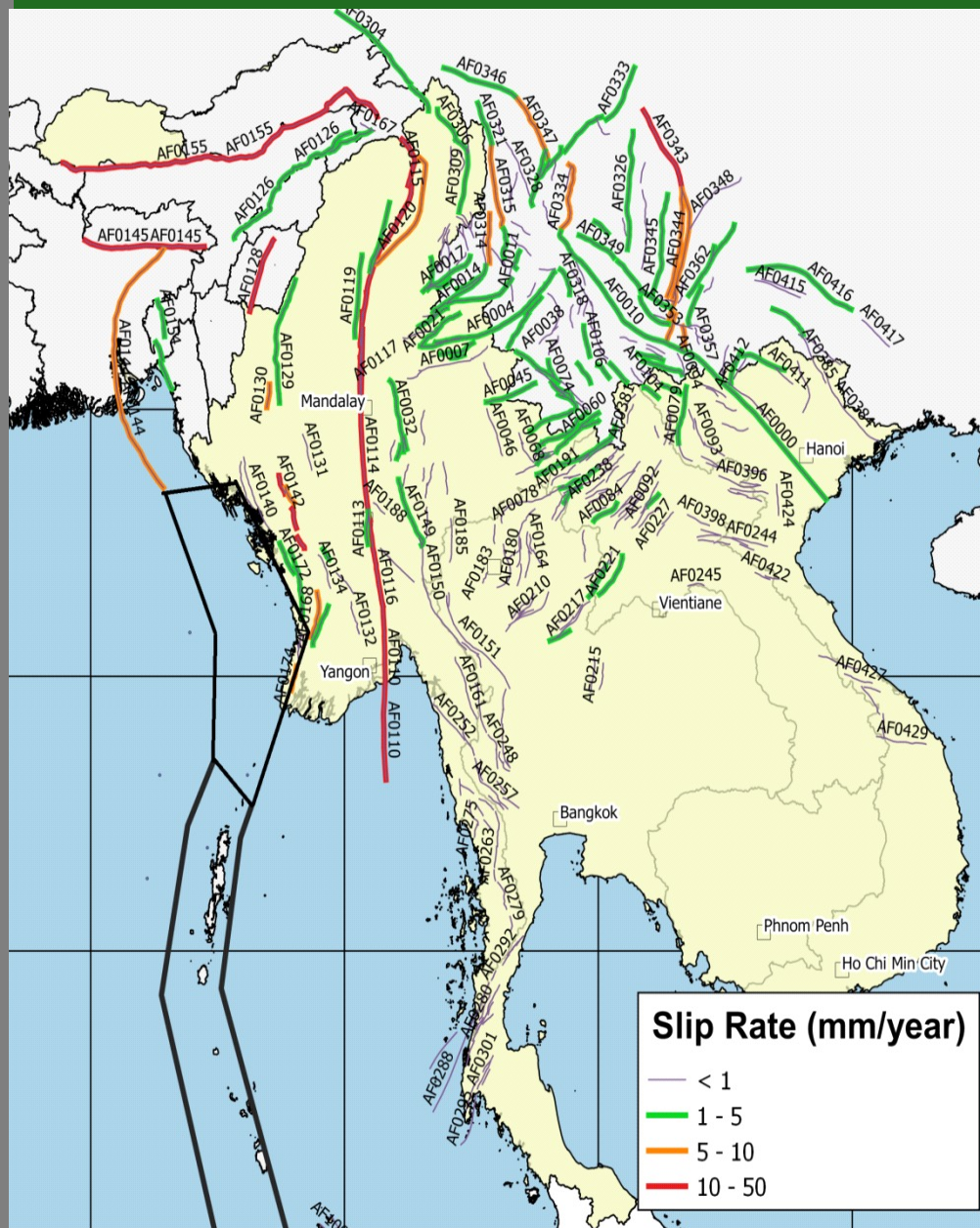
ผลกระทบของภัยพิบัติแผ่นดินไหวจากรอยเลื่อนสะกายต่ออาคารสูงในกรุงเทพฯ และการเตรียมพร้อมรับมือกับแผ่นดินไหวในอนาคต

ศ.ดร. เป็นหนึ่ง วานิชชัย

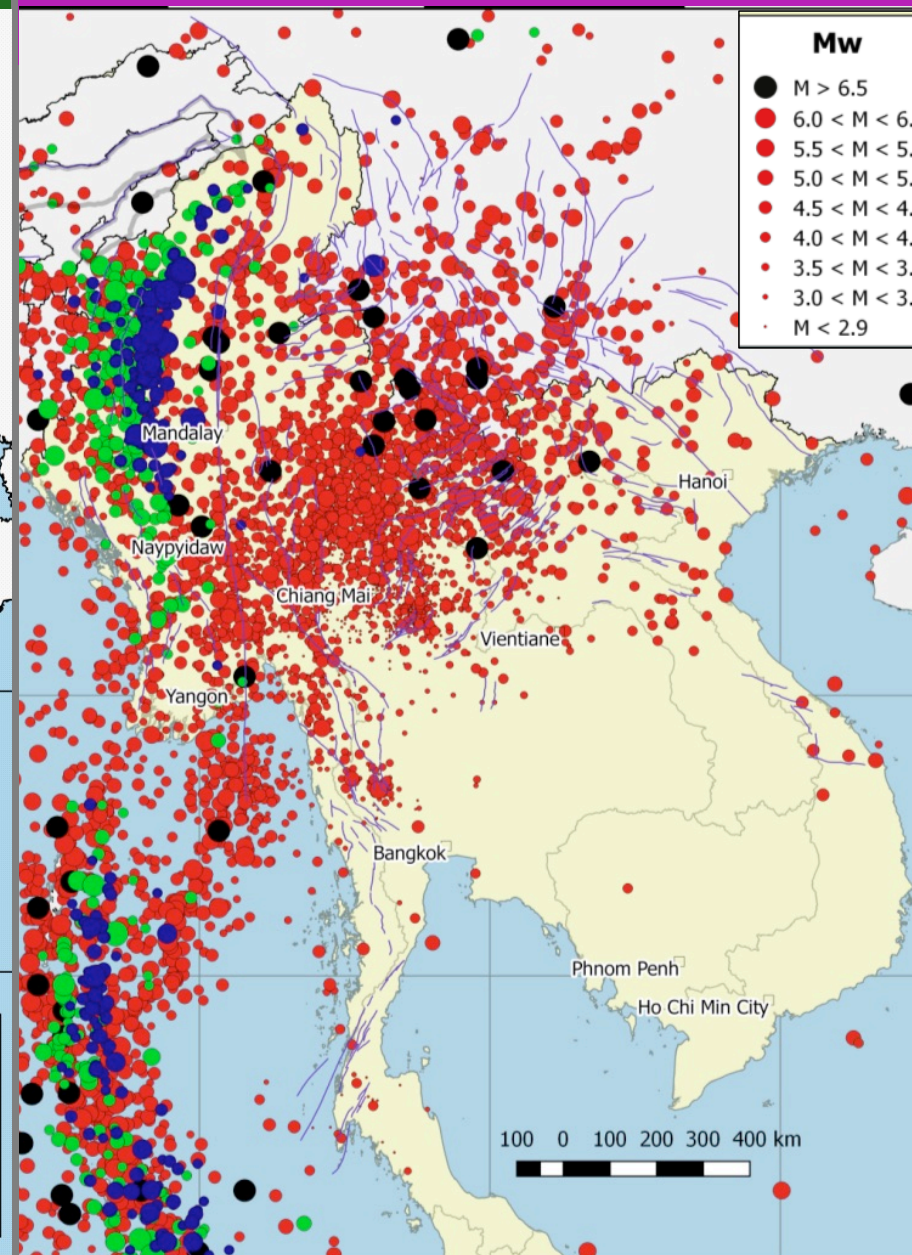
ภาควิชาวิศวกรรมโครงสร้าง
สถาบันเทคโนโลยีแห่งเอเชีย (AIT)

ผู้อำนวยการศูนย์วิจัยแผ่นดินไหวแห่งชาติ

Tectonic Map and Active Faults of SouthEast Asia

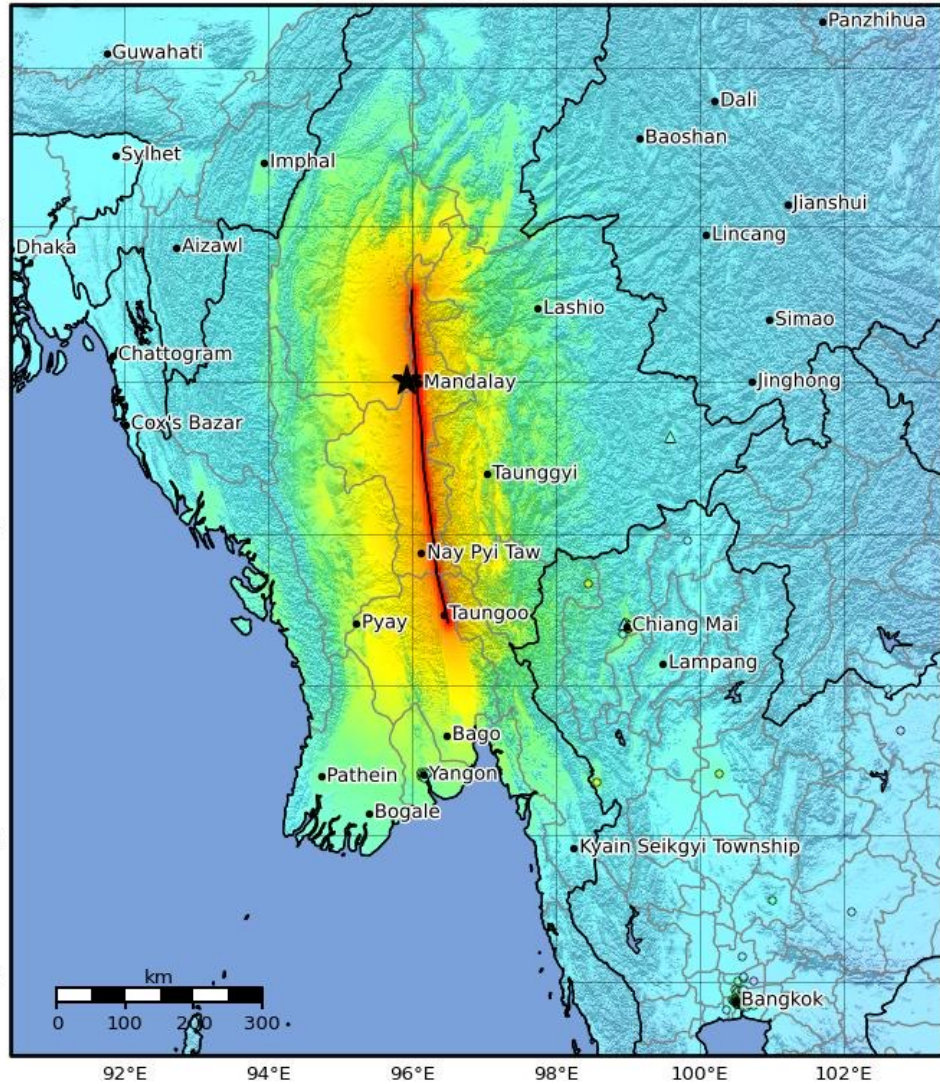


Seismicity Map of SouthEast Asia (1905-2014)



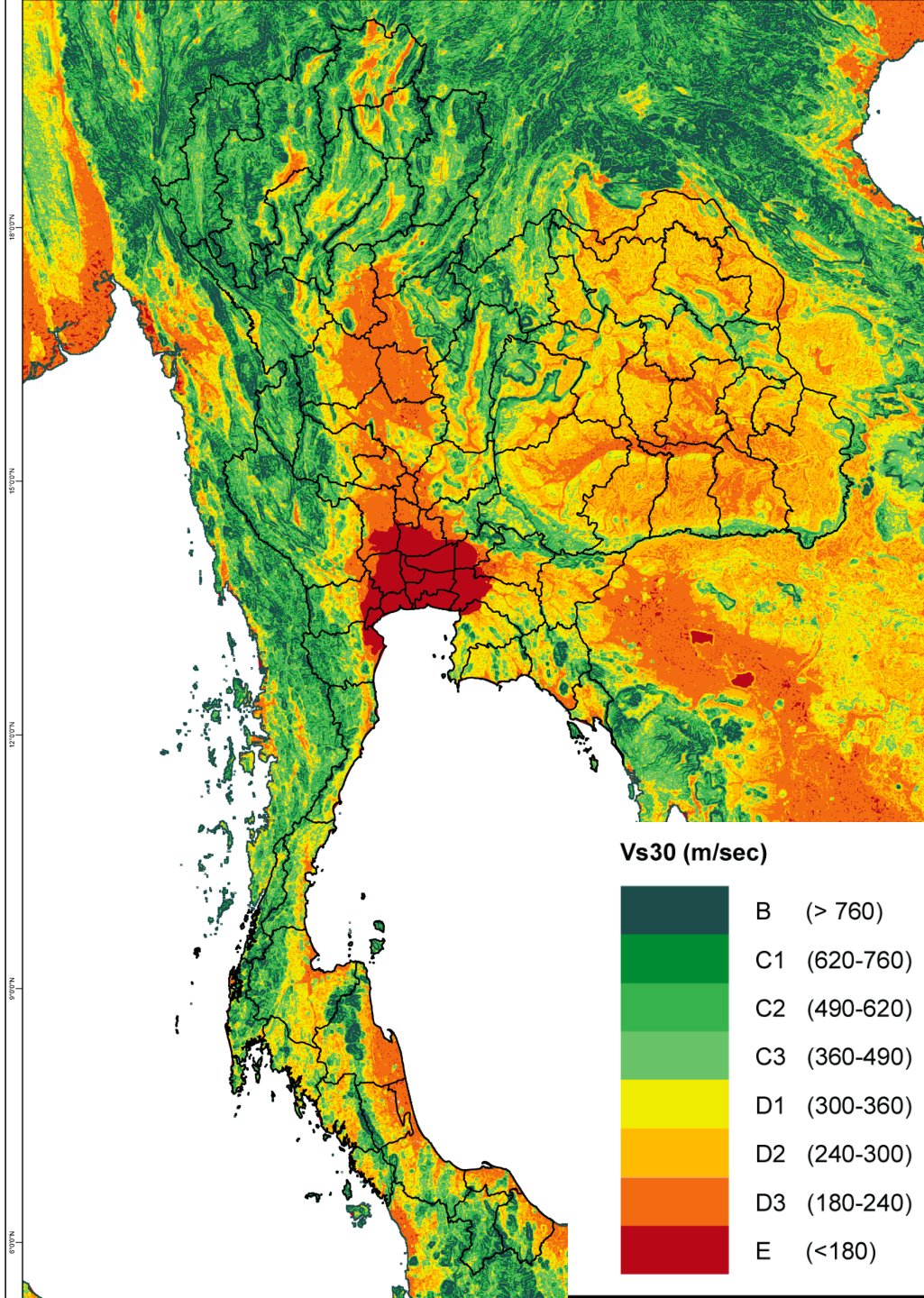
M 7.7 - 2025 Mandalay, Burma (Myanmar) Earthquake

2025-03-28 06:20:54 (UTC)
 22.013°N 95.922°E
 10.0 km depth



SHAKING	Not felt	Weak	Light	Moderate	Strong	Very strong	Severe	Violent	Extreme
DAMAGE	None	None	None	Very light	Light	Moderate	Moderate/heavy	Heavy	Very heavy
PGA(%g)	<0.0464	0.297	2.76	6.2	11.5	21.5	40.1	74.7	>139
PGV(cm/s)	<0.0215	0.135	1.41	4.65	9.64	20	41.4	85.8	>178
INTENSITY	I	II-III	IV	V	VI	VII	VIII	IX	X+

Scale based on Worden et al. (2012) Version 8: Processed 2025-03-28T18:12:21Z
 △ Seismic Instrument ○ Reported Intensity ★ Epicenter □ Rupture



Map showing Soil (Site) Conditions in Thailand (derived from digital elevation data—SRTM30 and boreholes data)

Bangkok and neighboring provinces are located inside a large soil basin.

Rock (No Amplification)

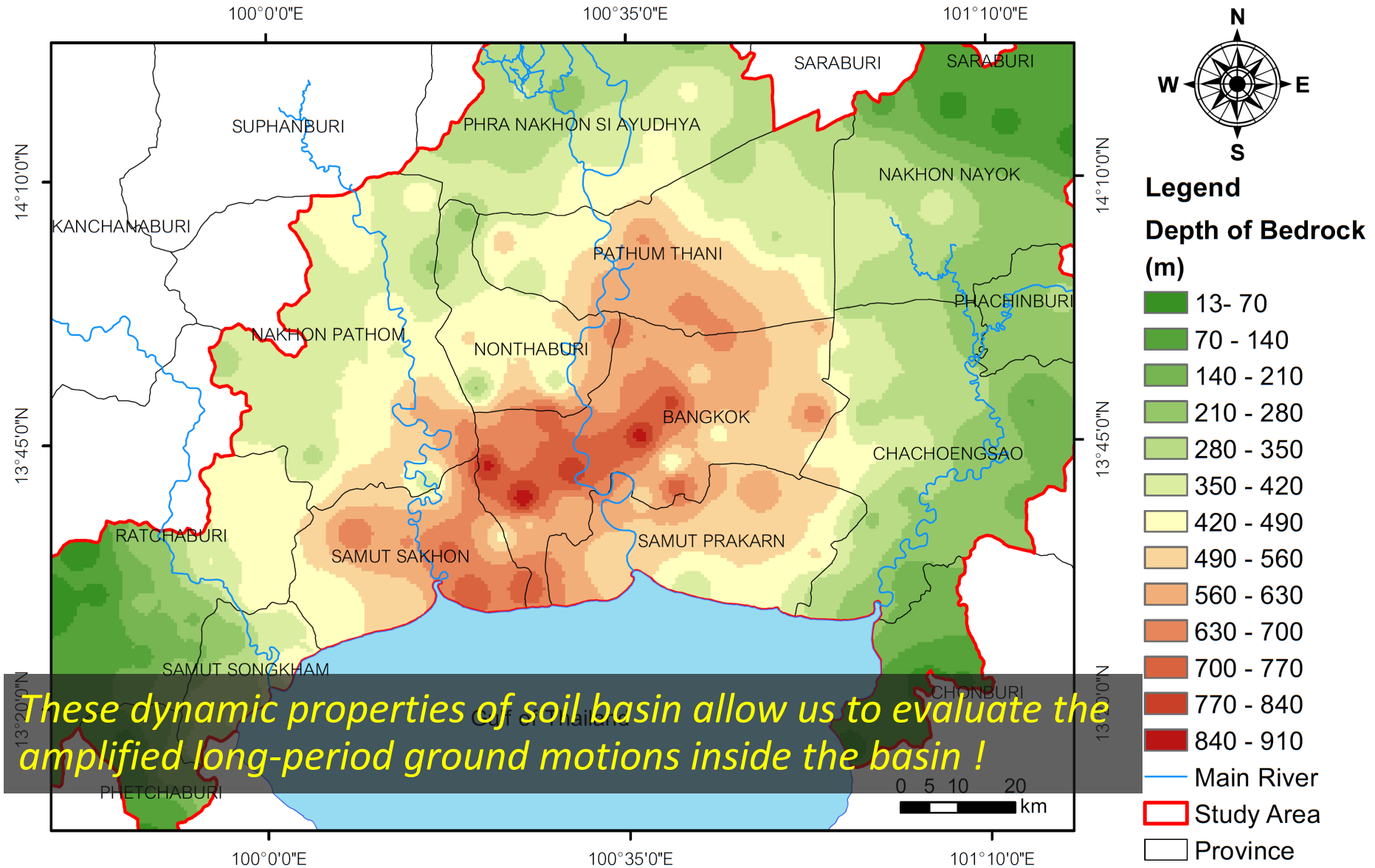
Very Stiff Soil

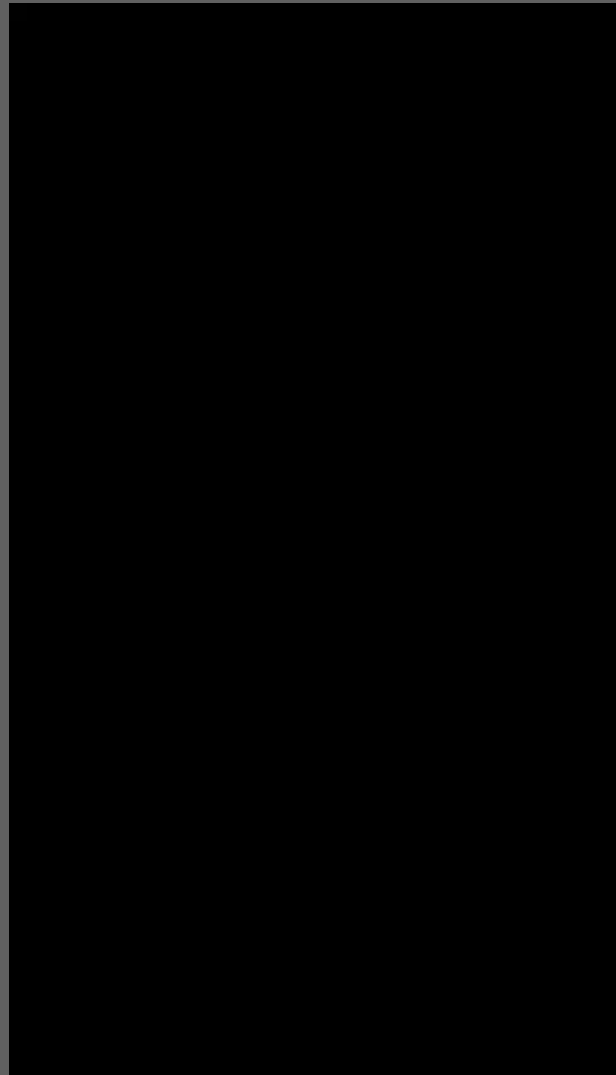
Stiff Soil (Moderate Amplification)

Moderately Soft Soil

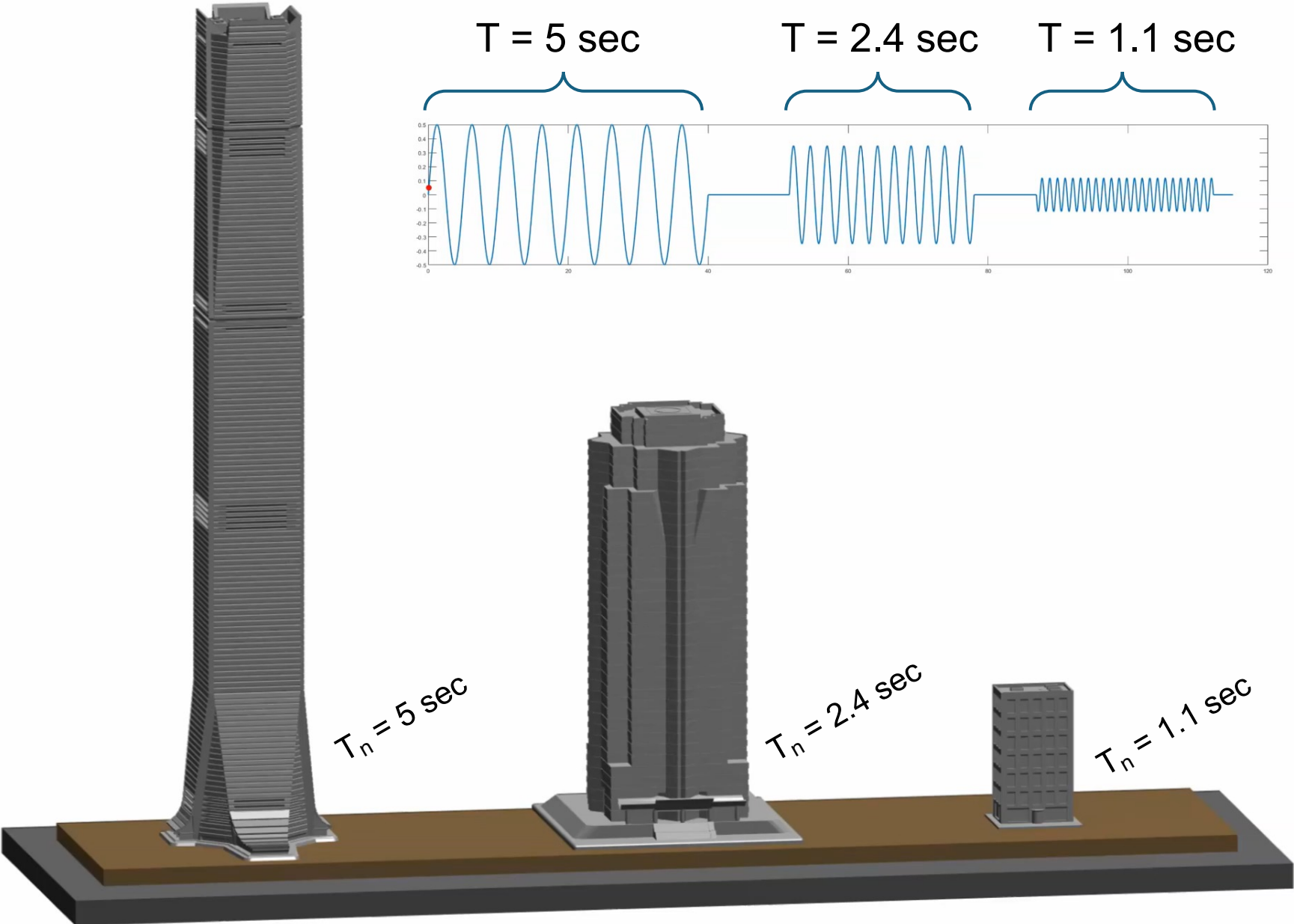
Very Soft Soil (High Amplification)

Depth to Basement Rock in Bangkok Basin





Resonance Effect



กรุงเทพมหานครและปริมณฑล มีโอกาสเกิดภัยพิบัติ เนื่องจากแผ่นดินไหวขนาดใหญ่ในระยะไกล

สภาพแอ่งดินอ่อนในกรุงเทพ ฯ สามารถขยายความรุนแรงของ
แผ่นดินไหวได้มากกว่าปกติ ถึง 3 เท่า และ อาคารสูงเป็นจำนวนมากอาจ
เกิดการก่อกองทำให้โยกไหวตัวรุนแรงจนเกิดความเสียหาย

สถานการณ์แผ่นดินไหวที่เป็นอันตรายต่ออาคารสูงในกรุงเทพ ฯ ได้แก่

- แผ่นดินไหวขนาด 7 - 7.5 ที่ จ. กาญจนบุรี
- แผ่นดินไหวขนาด 8 ที่แนวรอยเลื่อนสกายในประเทศพม่า
- แผ่นดินไหวขนาด 8.5 - 9 ที่แนวมุดตัวในทะเลอันดามัน

การปรับปรุงกฎกระทรวงแผ่นดินไหวในปี พ.ศ. ๒๕๕๐ ขยายพื้นที่ควบคุมให้ออกแบบอาคารต้านทานแผ่นดินไหวให้รวมถึงกรุงเทพมหานครและปริมณฑล



กฎกระทรวง

กำหนดการรับน้ำหนัก ความต้านทาน ความคงทนของอาคาร และพื้นที่รองรับอาคารในการต้านทานแรงสั่นสะเทือนของแผ่นดินไหว

พ.ศ. ๒๕๕๐

อาศัยอำนาจตามความในมาตรา ๕ (๓) แห่งพระราชบัญญัติควบคุมอาคาร พ.ศ. ๒๕๒๒ และมาตรา ๘ (๓) แห่งพระราชบัญญัติควบคุมอาคาร พ.ศ. ๒๕๒๒ ซึ่งแก้ไขเพิ่มเติมโดยพระราชบัญญัติควบคุมอาคาร (ฉบับที่ ๓) พ.ศ. ๒๕๔๓ อันเป็นกฎหมายที่มีบทบัญญัติบางประการ

“บริเวณที่ ๑” หมายความว่า พื้นที่หรือบริเวณที่เป็นดินอ่อนมากที่อาจได้รับผลกระทบจากแผ่นดินไหวระยะไกล ได้แก่ กรุงเทพมหานคร จังหวัดนนทบุรี จังหวัดปทุมธานี จังหวัดสมุทรปราการ และจังหวัดสมุทรสาคร

“บริเวณที่ ๒” หมายความว่า พื้นที่หรือบริเวณที่อยู่ใกล้รอยเลื่อนที่อาจได้รับผลกระทบ ได้แก่ จังหวัดกระบี่ จังหวัดชุมพร จังหวัดพังงา จังหวัดภูเก็ต จังหวัดระนอง จังหวัดสงขลา และจังหวัดสุราษฎร์ธานี

“บริเวณที่ ๓” หมายความว่า พื้นที่หรือบริเวณที่เป็นดินอ่อนมากที่อาจได้รับผลกระทบจากแผ่นดินไหวระยะไกล ได้แก่ กรุงเทพมหานคร จังหวัดนนทบุรี จังหวัดปทุมธานี จังหวัดสมุทรปราการ และจังหวัดสมุทรสาคร

“บริเวณที่ ๒” หมายความว่า พื้นที่หรือบริเวณที่อยู่ใกล้รอยเลื่อนที่อาจได้รับผลกระทบจากแผ่นดินไหว ได้แก่ จังหวัดกระบี่ จังหวัดชุมพร จังหวัดพังงา จังหวัดภูเก็ต จังหวัดระนอง จังหวัดสงขลา และจังหวัดสุราษฎร์ธานี

ข้อ ๓ กฎกระทรวงนี้ใช้บังคับในบริเวณและอาคารดังต่อไปนี้

(ก) อาคารที่จำเป็นต่อความเป็นอยู่ของสาธารณชน เช่น สถานพยาบาลที่รับผู้ป่วยไว้ค้างคืน สถานีดับเพลิง อาคารศูนย์บรรเทาสาธารณภัย อาคารศูนย์สื่อสาร ท่าอากาศยาน โรงไฟฟ้า โรงผลิตและเก็บน้ำประปา

(ข) อาคารเก็บวัตถุดิบอันตราย เช่น วัตถุระเบิด วัตถุไวไฟ วัตถุมีพิษ วัตถุกัมมันตรังสี หรือวัตถุที่ระเบิดได้

(ค) อาคารสาธารณะที่มีผู้ใช้อาคารได้ตั้งแต่สามร้อยคนขึ้นไป ได้แก่ โรงมหรสพ หอประชุม หอศิลป์ พิพิธภัณฑ์สถาน หอสมุด ศาสนสถาน สนามกีฬา อัฒจันทร์ ตลาด ห้างสรรพสินค้า ศูนย์การค้า สถานีรถ และโรงแรม

(ง) สถานศึกษาที่รับนักเรียนหรือนักศึกษาได้ตั้งแต่สองร้อยห้าสิบคนขึ้นไป

(จ) สถานรับเลี้ยงเด็กอ่อนที่รับเด็กอ่อนได้ตั้งแต่ห้าสิบคนขึ้นไป

(ฉ) อาคารที่มีผู้ใช้อาคารได้ตั้งแต่ห้าพันคนขึ้นไป

สิบเมตรขึ้นไป

ไว้ฝ่ายมีความสูง

บาลที่รับผู้ป่วยไว้

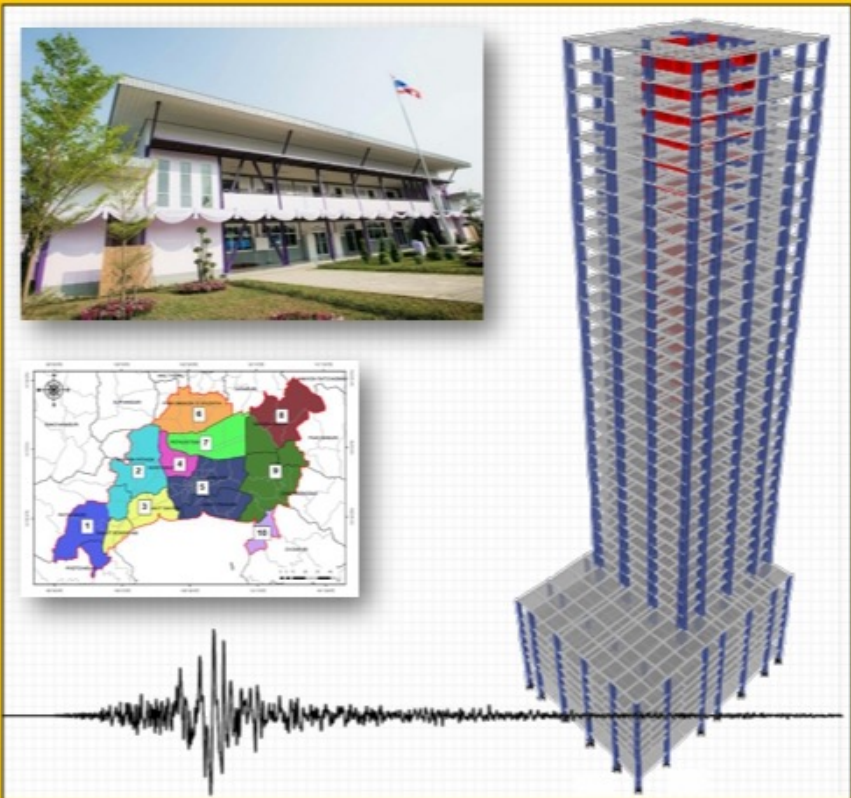
ค้างคืน สถานีดับเพลิง อาคารศูนย์บรรเทาสาธารณภัย อาคารศูนย์สื่อสาร ท่าอากาศยาน โรงไฟฟ้า โรงผลิตและเก็บน้ำประปา

(ข) อาคารเก็บวัตถุดิบอันตราย เช่น วัตถุระเบิด วัตถุไวไฟ วัตถุมีพิษ วัตถุกัมมันตรังสี หรือวัตถุที่ระเบิดได้

(ค) อาคารสาธารณะ ได้แก่ โรงมหรสพ หอประชุม หอศิลป์ พิพิธภัณฑ์สถาน หอสมุด ศาสนสถาน สนามกีฬา อัฒจันทร์ ตลาด ห้างสรรพสินค้า ศูนย์การค้า สถานีรถ โรงแรม สถานบริการ และอาคารจอดรถ

มยพ. 1301/1302-61

มาตรฐานการออกแบบอาคารต้านทาน
การสั่นสะเทือนของแผ่นดินไหว



กรมโยธาธิการและผังเมือง
กระทรวงมหาดไทย
พ.ศ. 2561

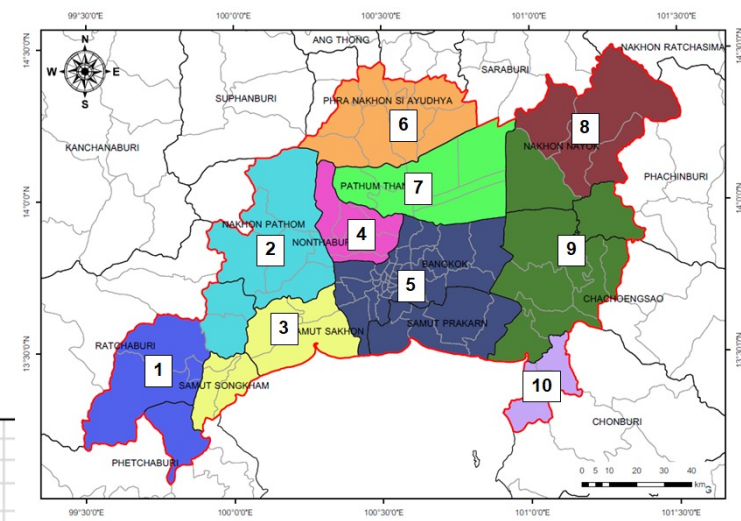
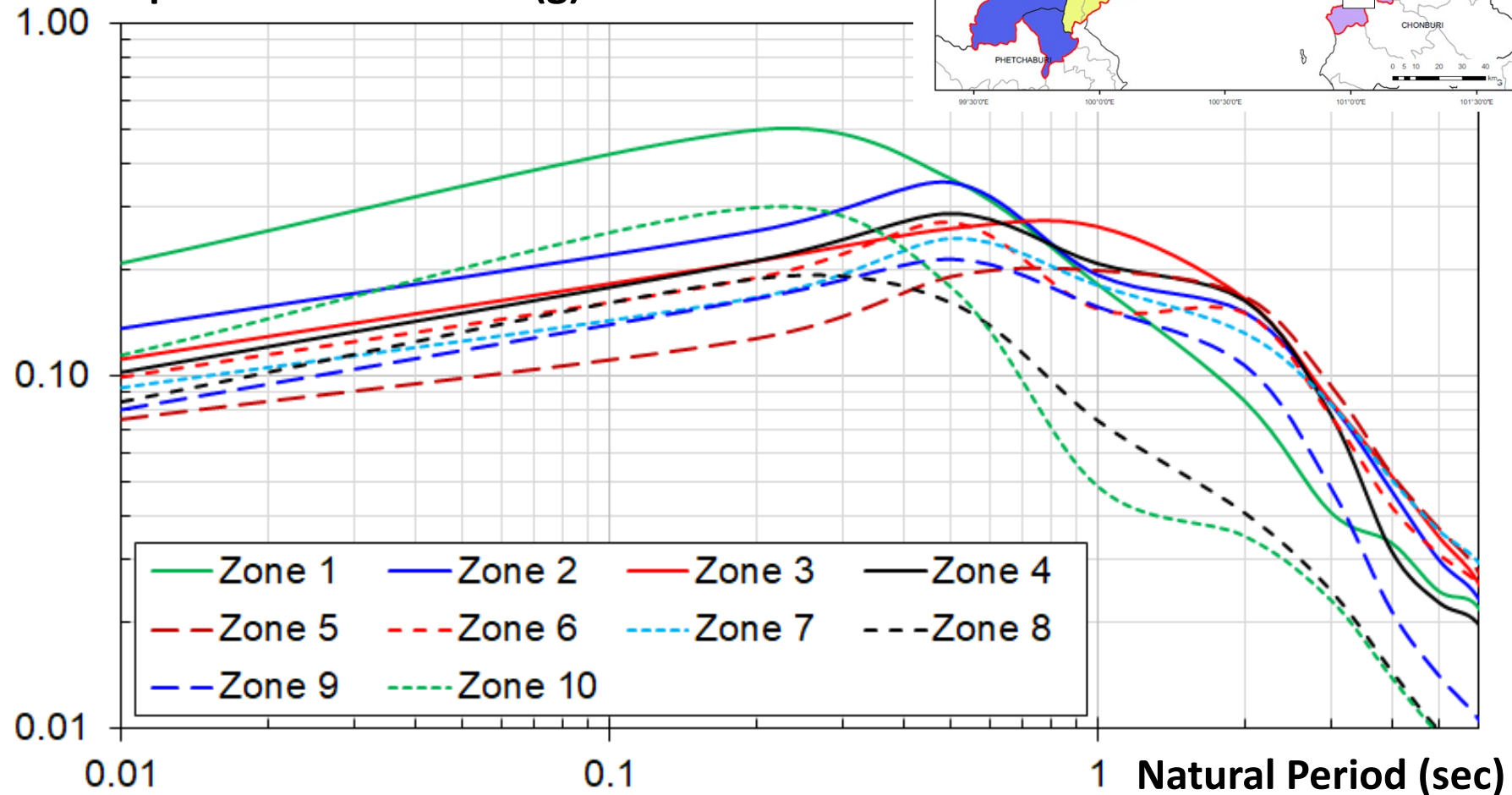
National Standard DPT
1301/1302-61:
Seismic Resistant Design of
Buildings and Structures

*Issued by Department of Public
Works and Town & Country Planning,
Ministry of Interior (2019)*

*The new design spectra for Bangkok and
the surrounding provinces have already
been included in DPT1301/1302-61.*

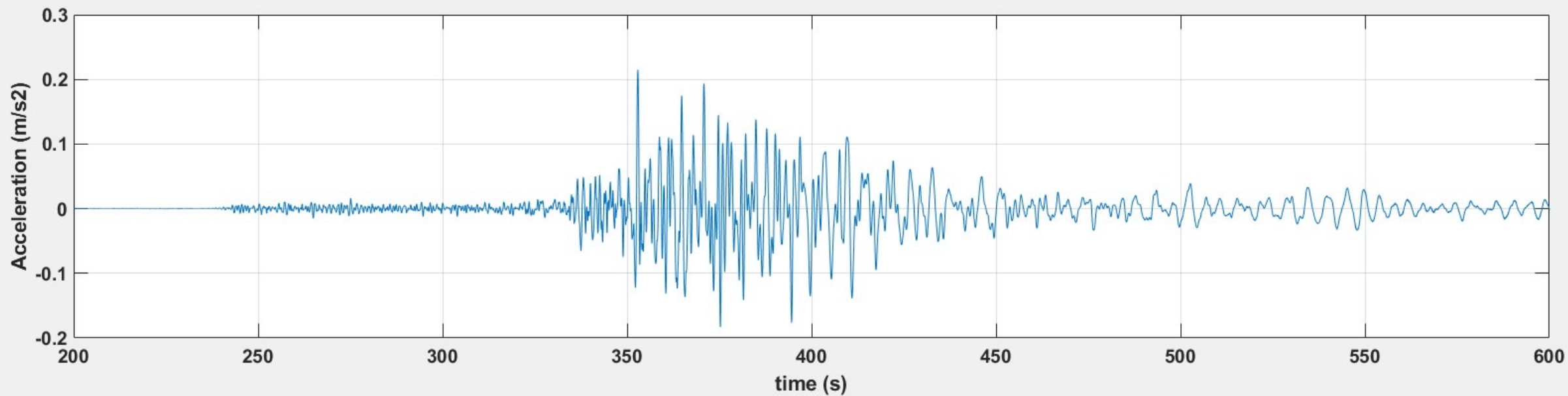
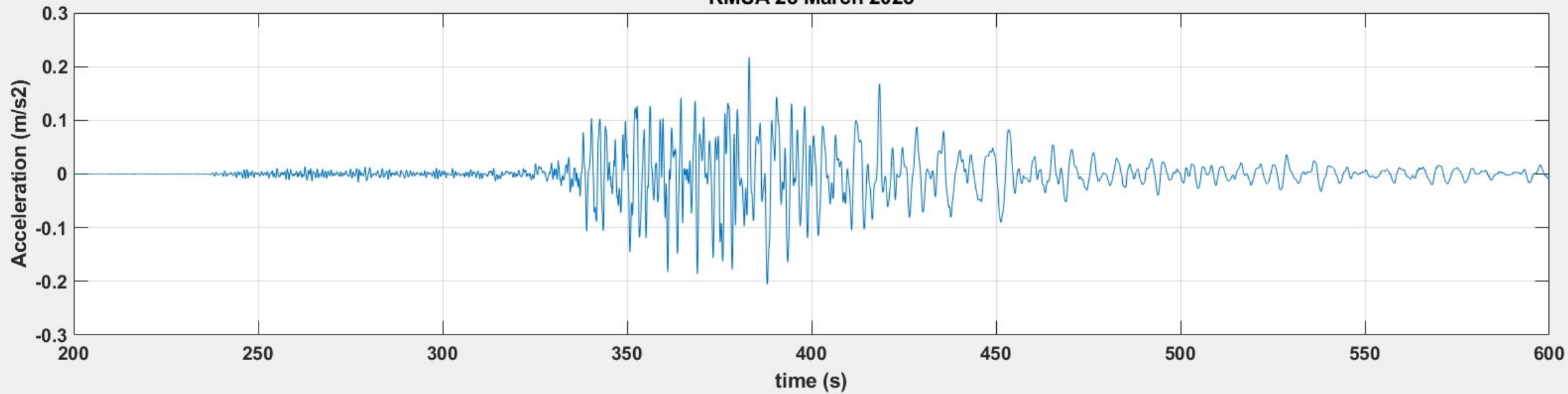
New Design Spectra for Bangkok and surrounding provinces

ความรุนแรงของการสั่นไหวของอาคาร
Spectral Acceleration (g)

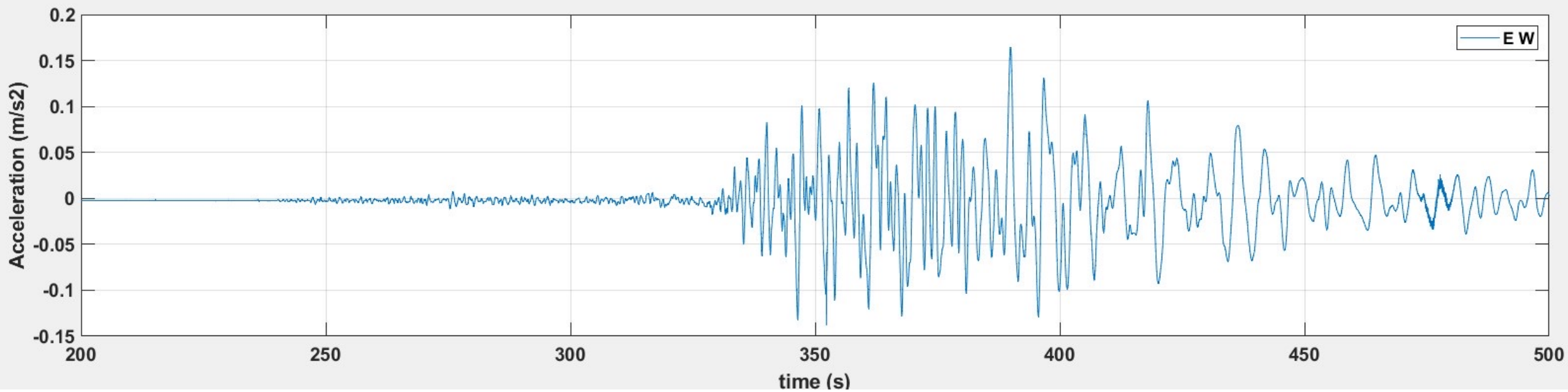
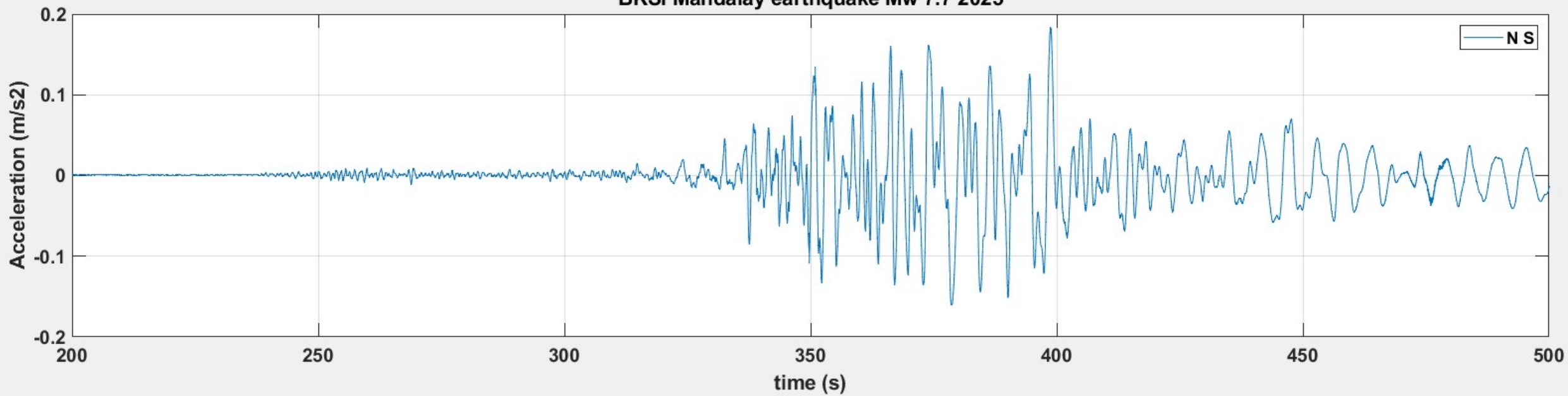


คาบการสั่นไหวของอาคาร

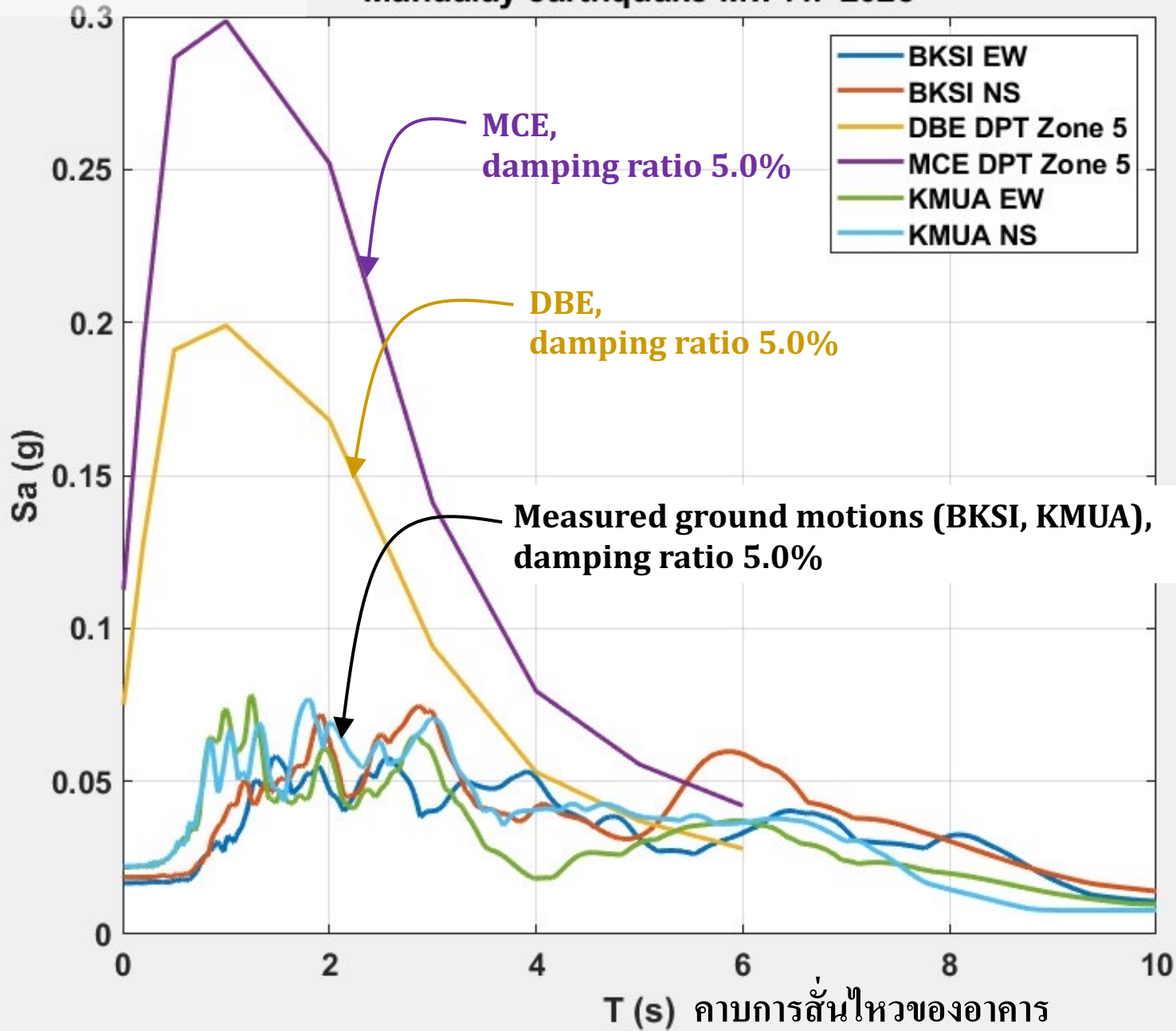
KMUA 28 March 2025



BKSI Mandalay earthquake Mw 7.7 2025



Mandalay earthquake Mw 7.7 2025



T (s) คาบการสั่นไหวของอาคาร

Summary of Damages

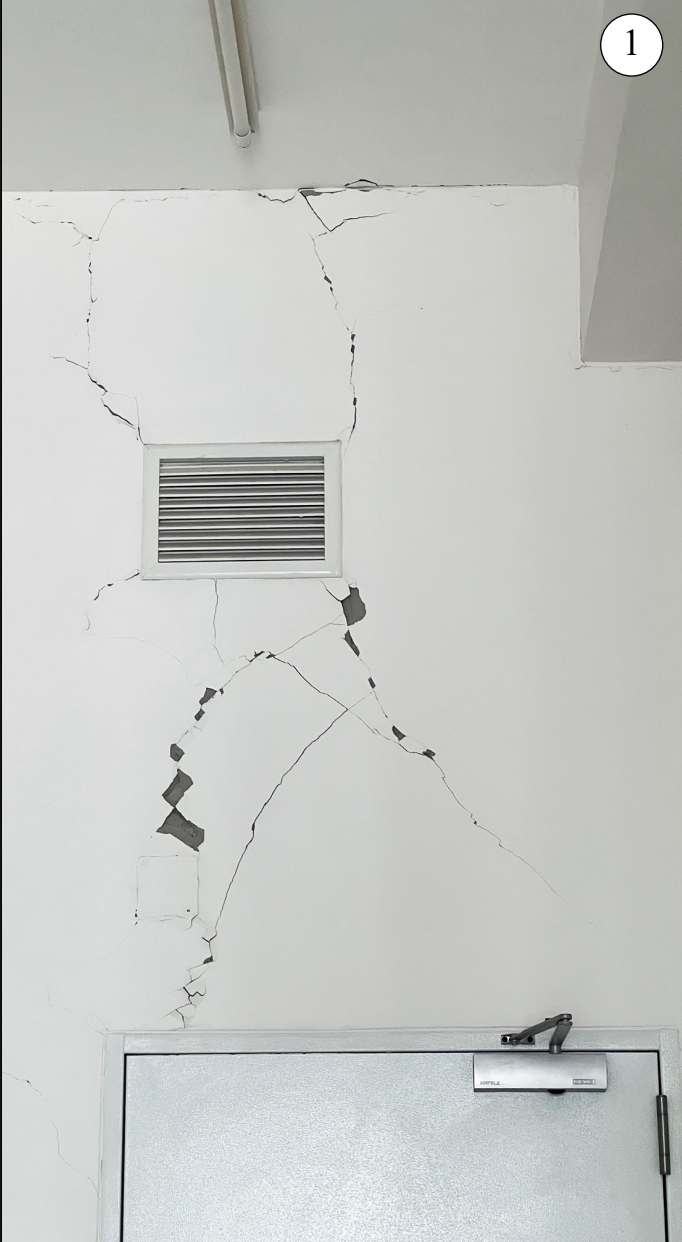
Total Collapse – 1 Bldg (SAO bldg. during construction)

Structural damages – Approx. more than 10 Bldgs

Non-structural damages – Approx. Several 100 Bldgs

All buildings in Bangkok, except collapsed SAO bldg, are safe from the earthquake with varying of damages but no reported injuries or death, except the collapsed SAO bldg with around 100 labors death or missing.

Slight to Moderate Damage to Non-Structural Masonry Walls



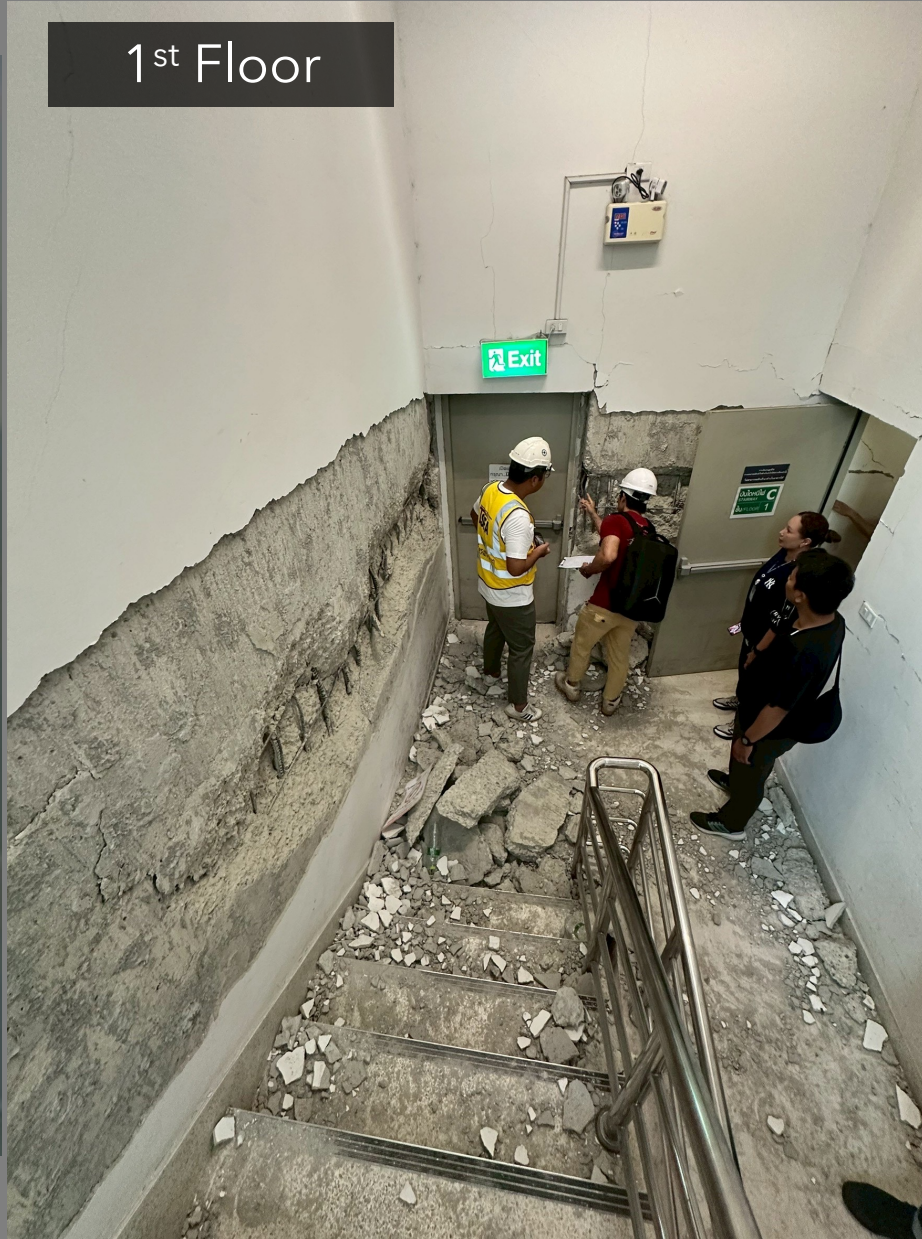
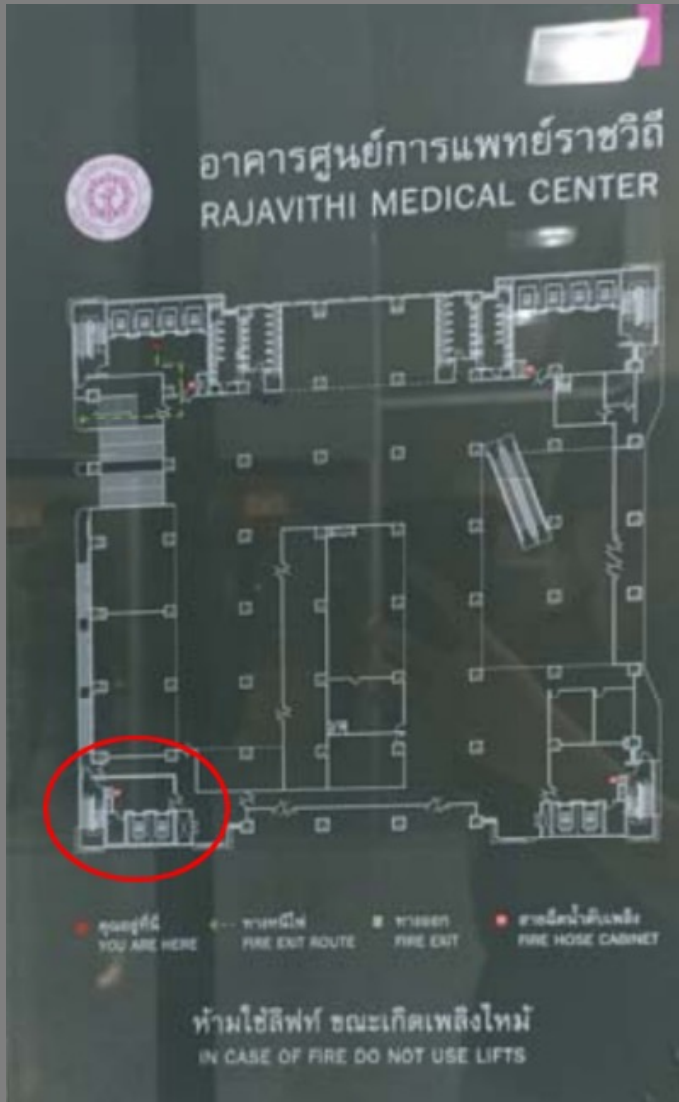
Severe Damage to Non-Structural Masonry Walls-ผนังอิฐก่อร้าวทะลุสองฝั่ง



Significant Structural Damage (25-story, Rajavithi Hospital)



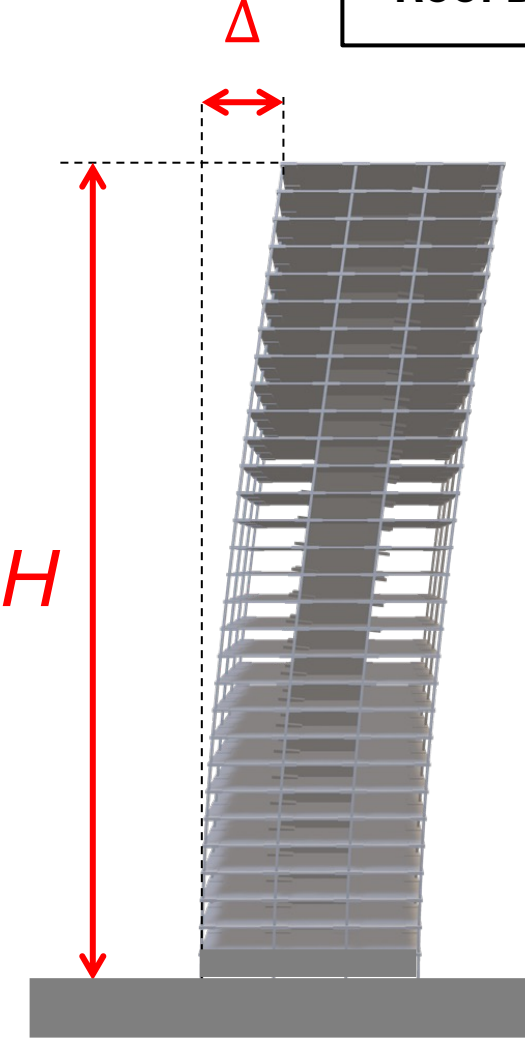
Significant Structural Damage (25-story, Rajavithi Hospital)



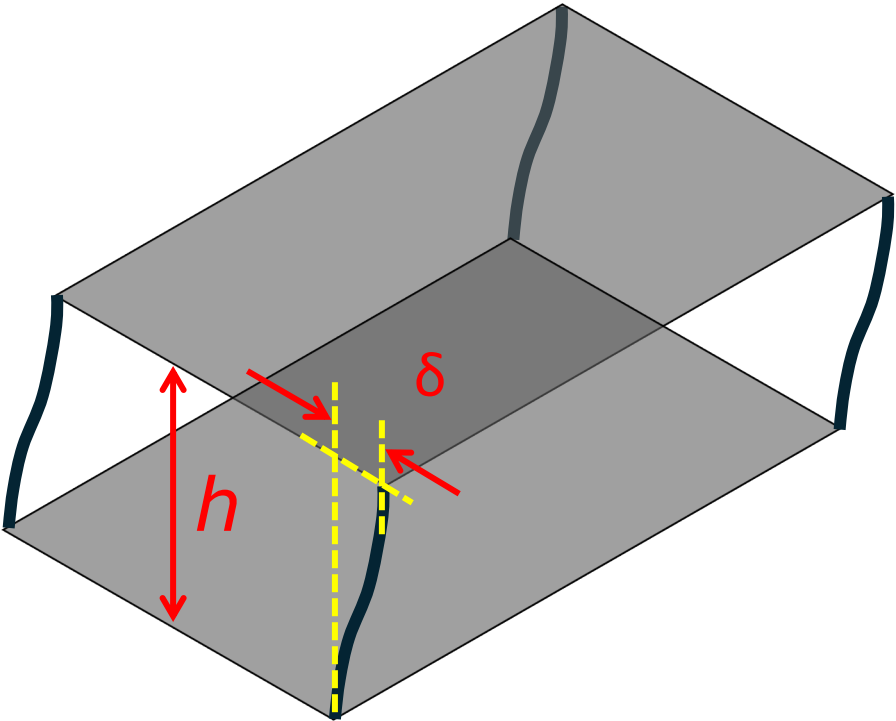
Significant Structural Damage (Building in Bangkok)



$$\text{Roof Drift Ratio} = \frac{\Delta}{H}$$



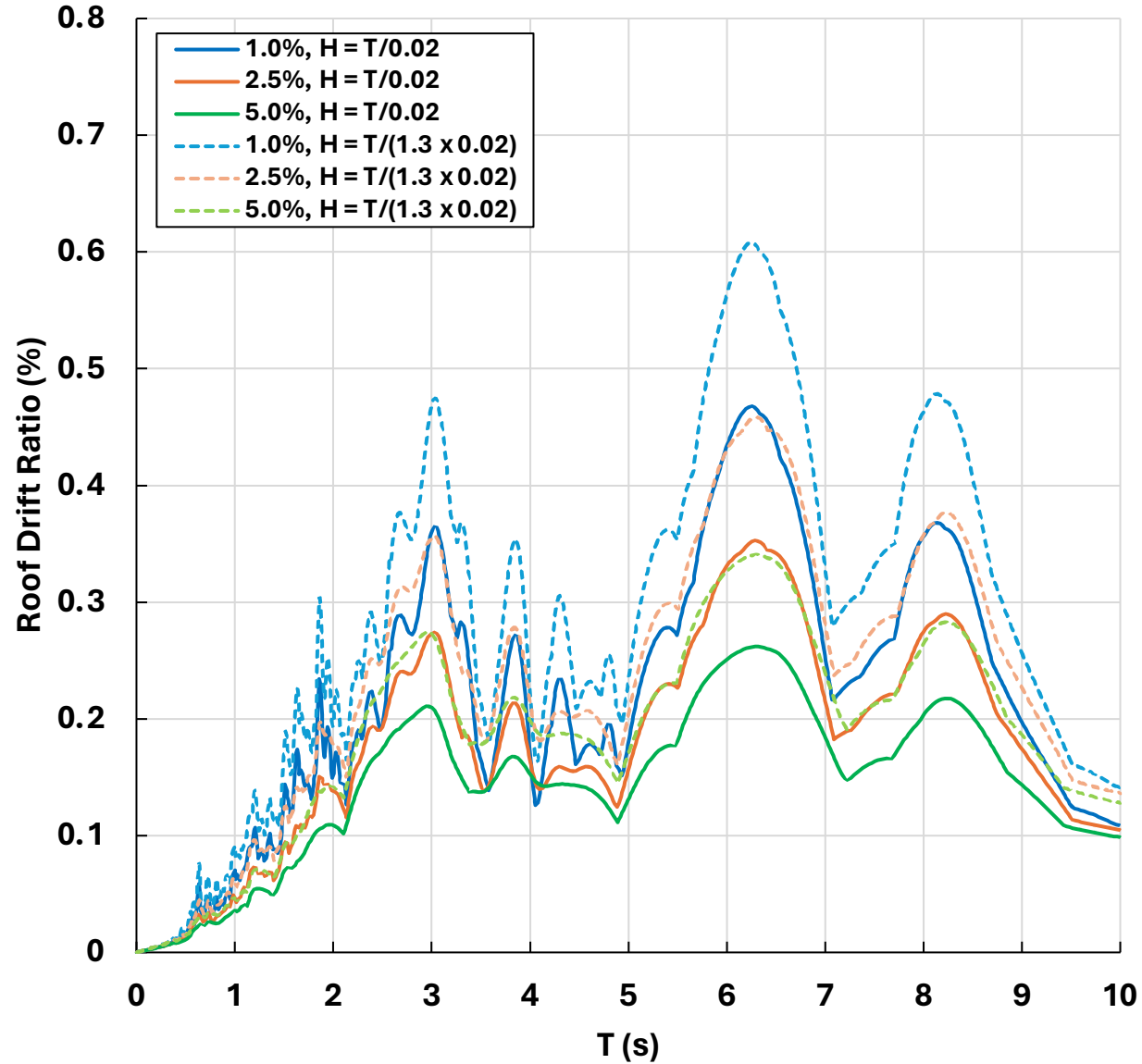
$$\text{Inter-Story Drift Ratio} = \frac{\delta}{h}$$



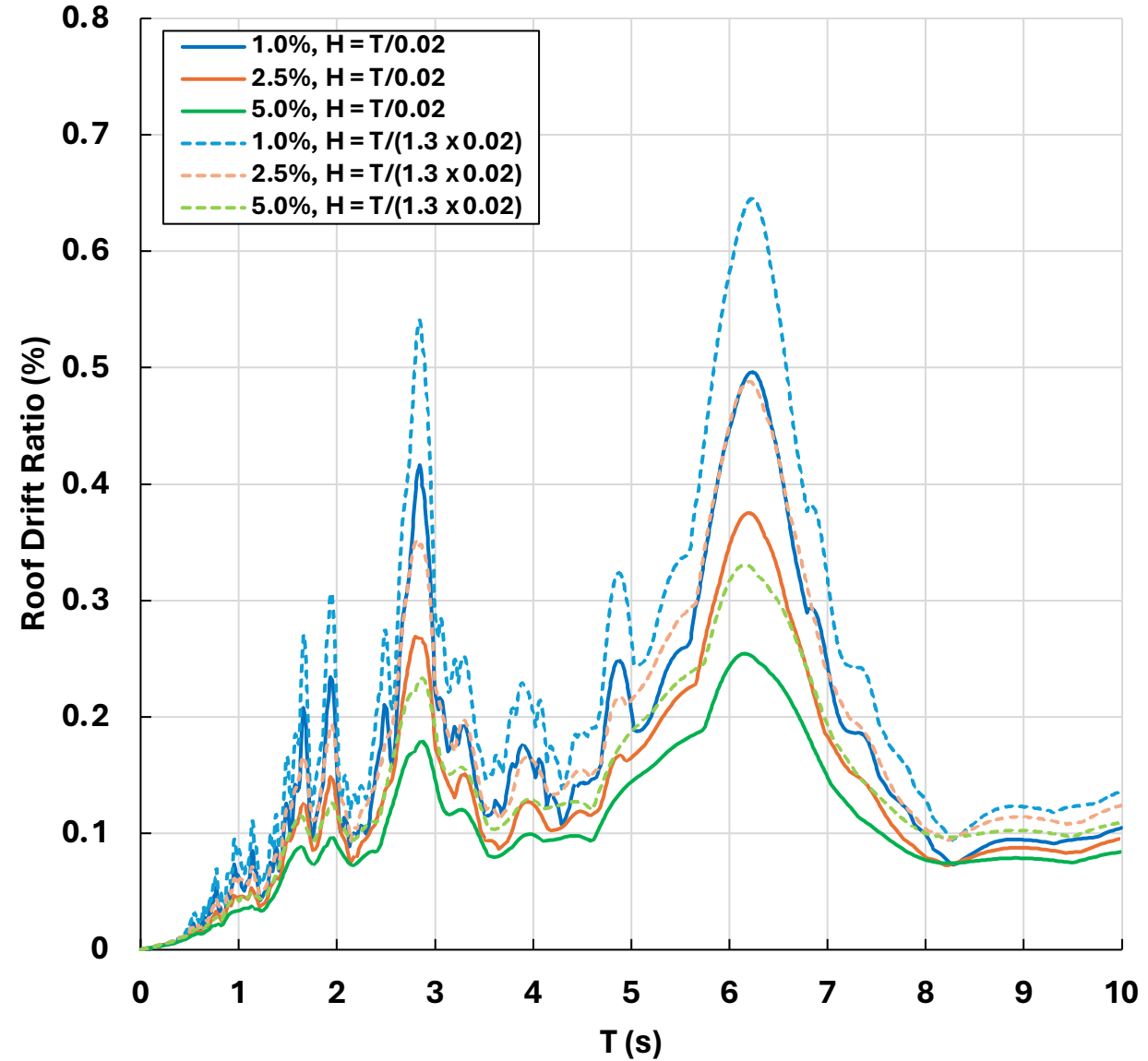
Roof Drift Ratio

Station: Department of Public Works and Town & Country Planning (PWSA)

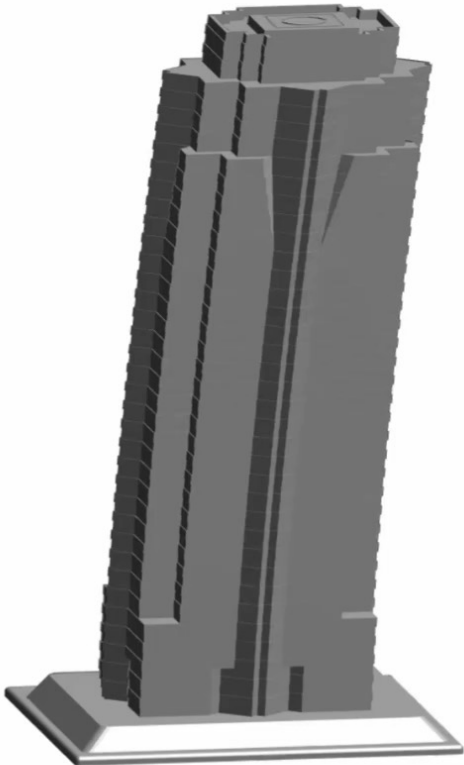
PWSA - NE



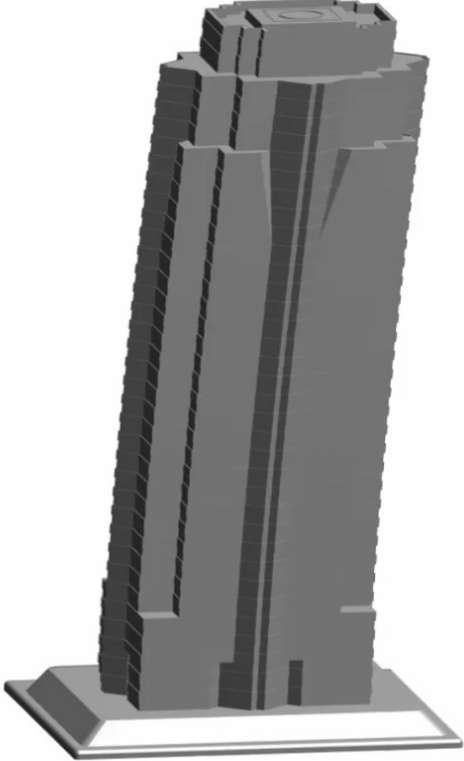
PWSA - NN



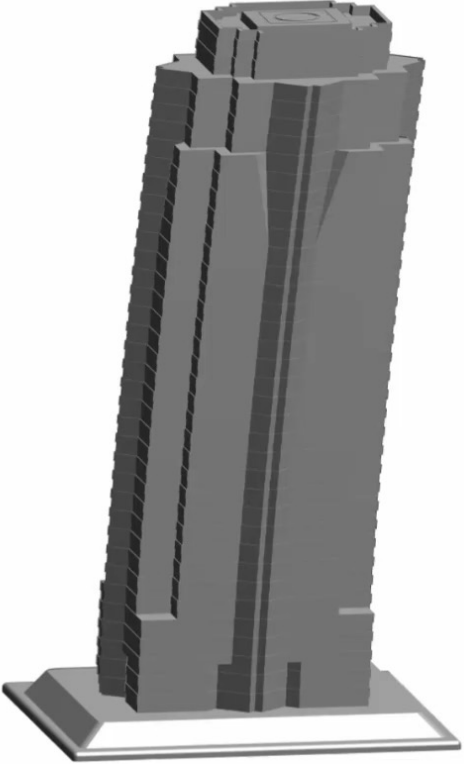
Damped Free Vibration



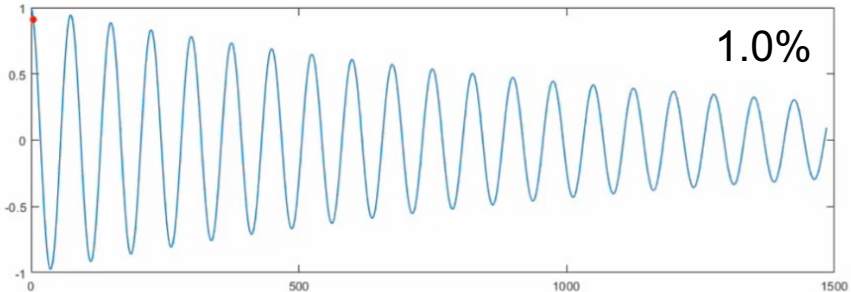
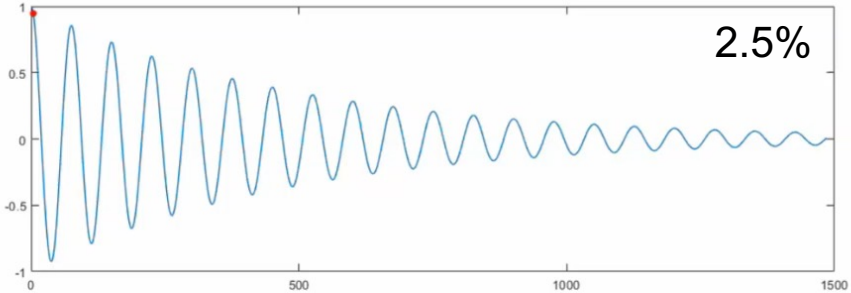
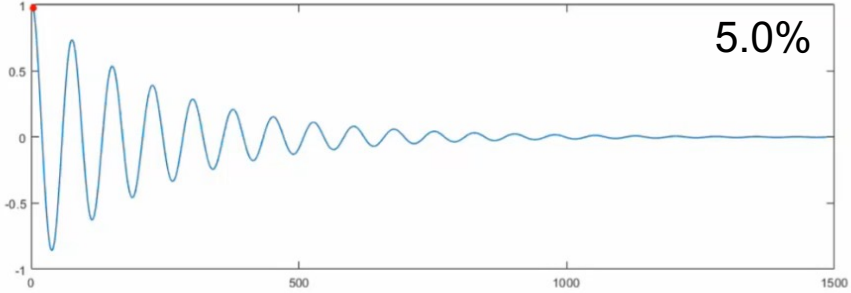
5.0%



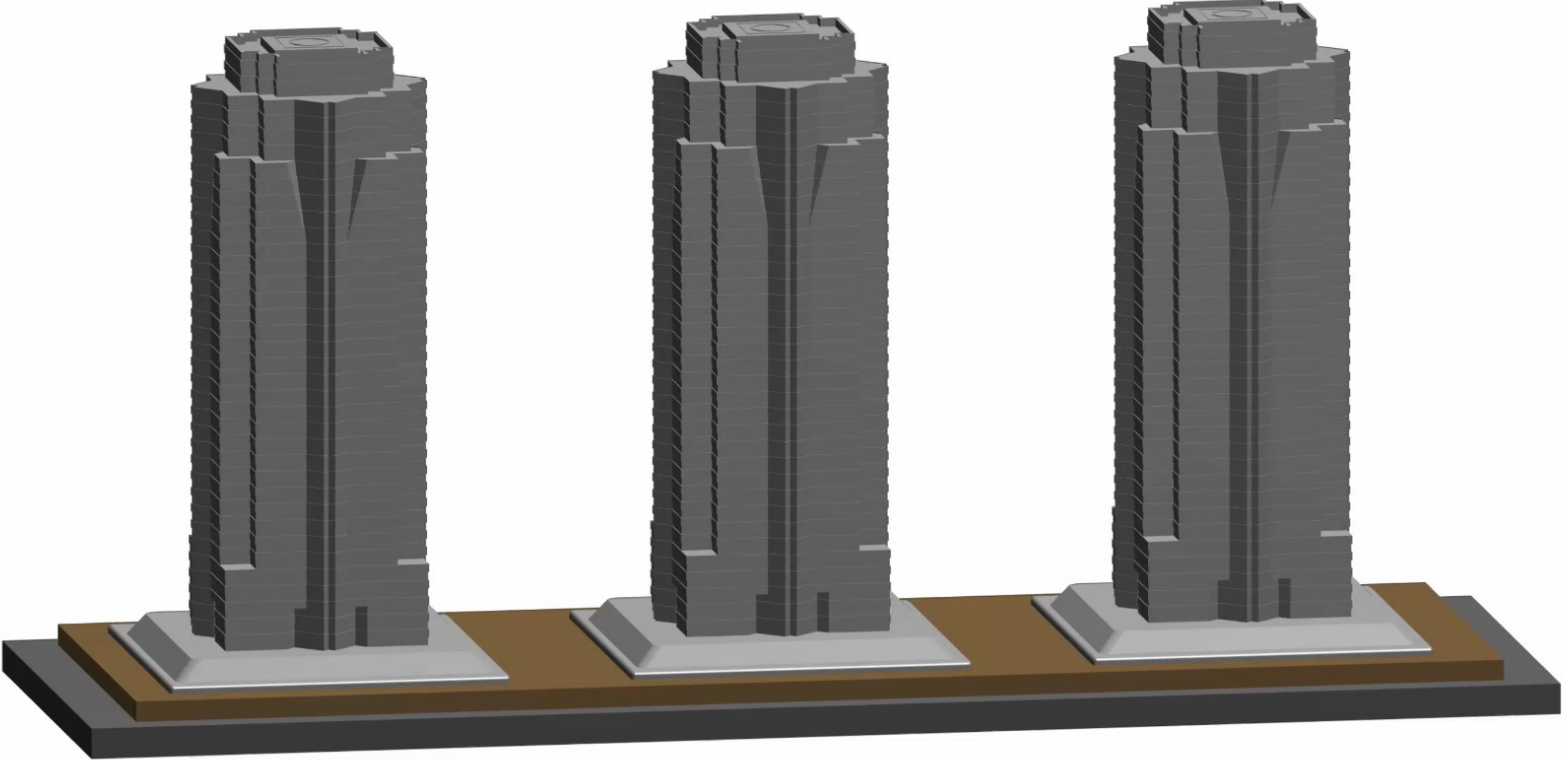
2.5%



1.0%



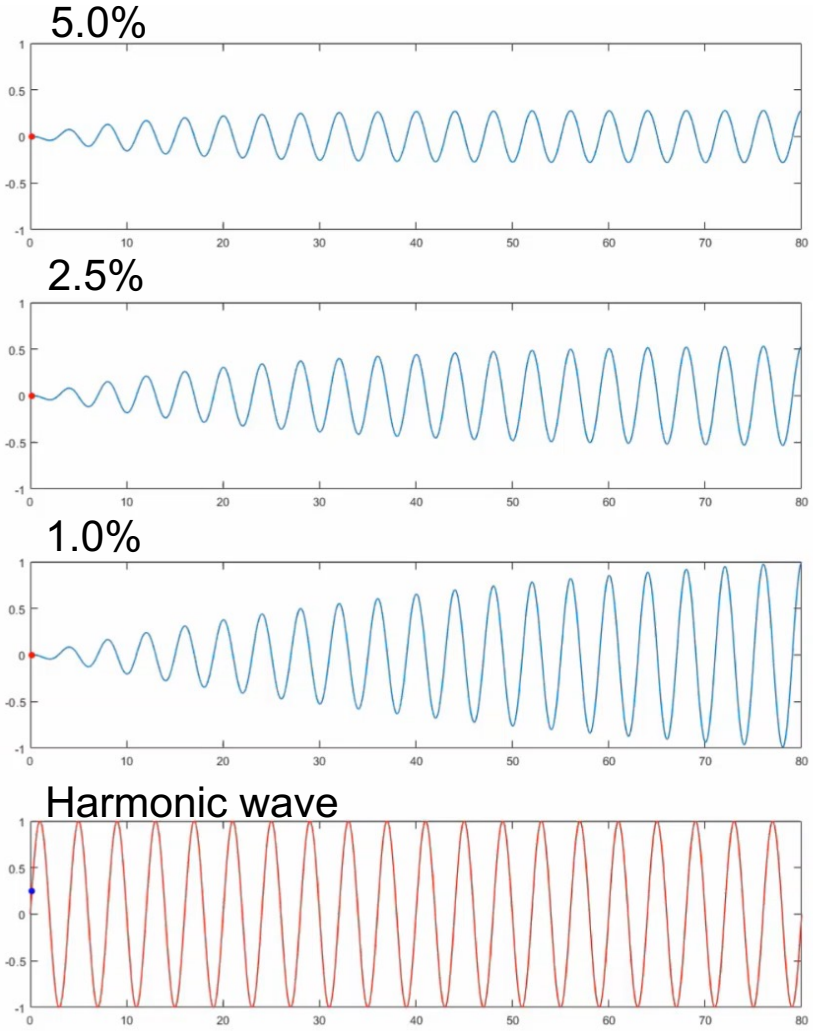
Harmonic Shaking



5.0%

2.5%

1.0%



5.0%

2.5%

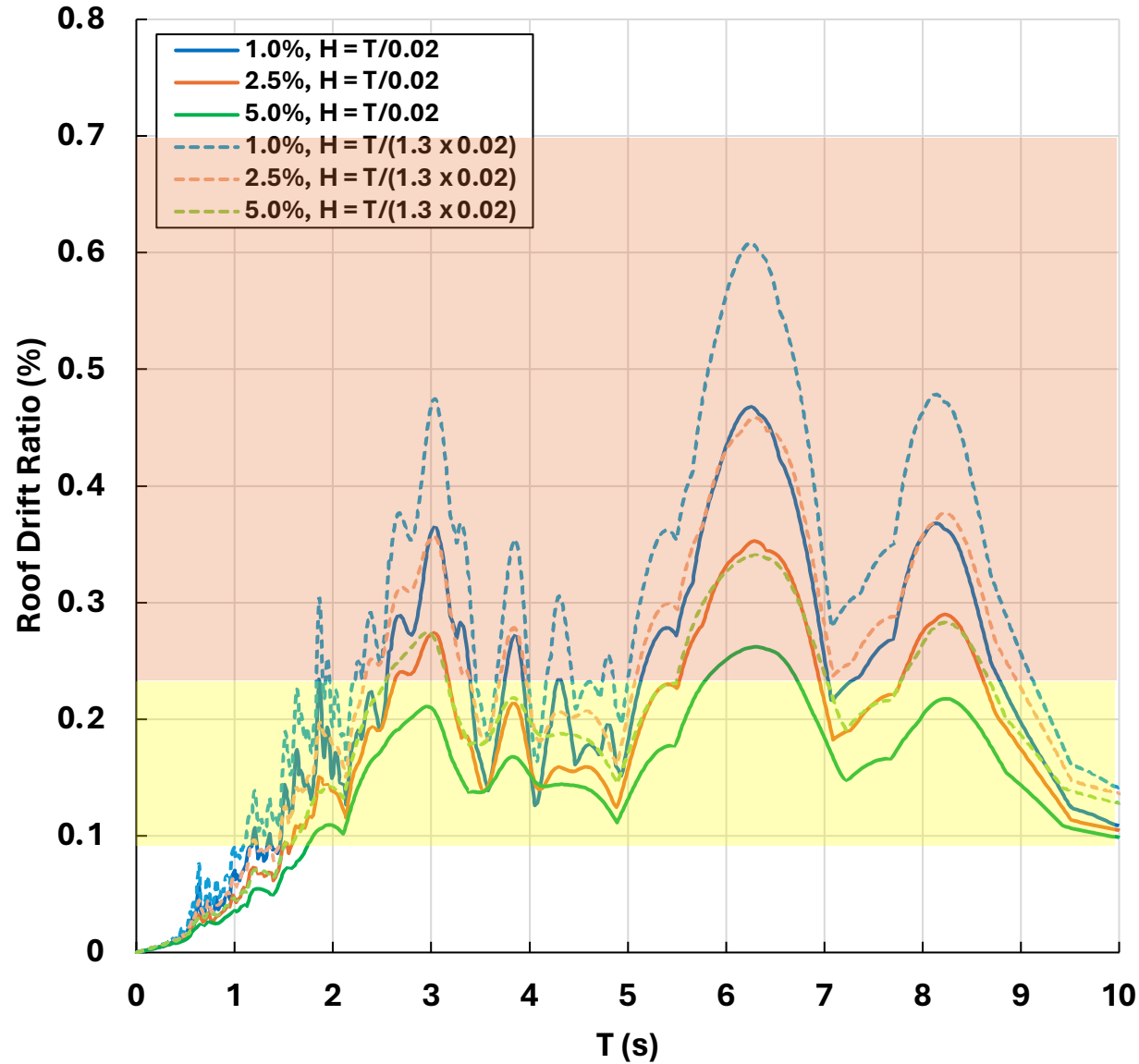
1.0%

Harmonic wave

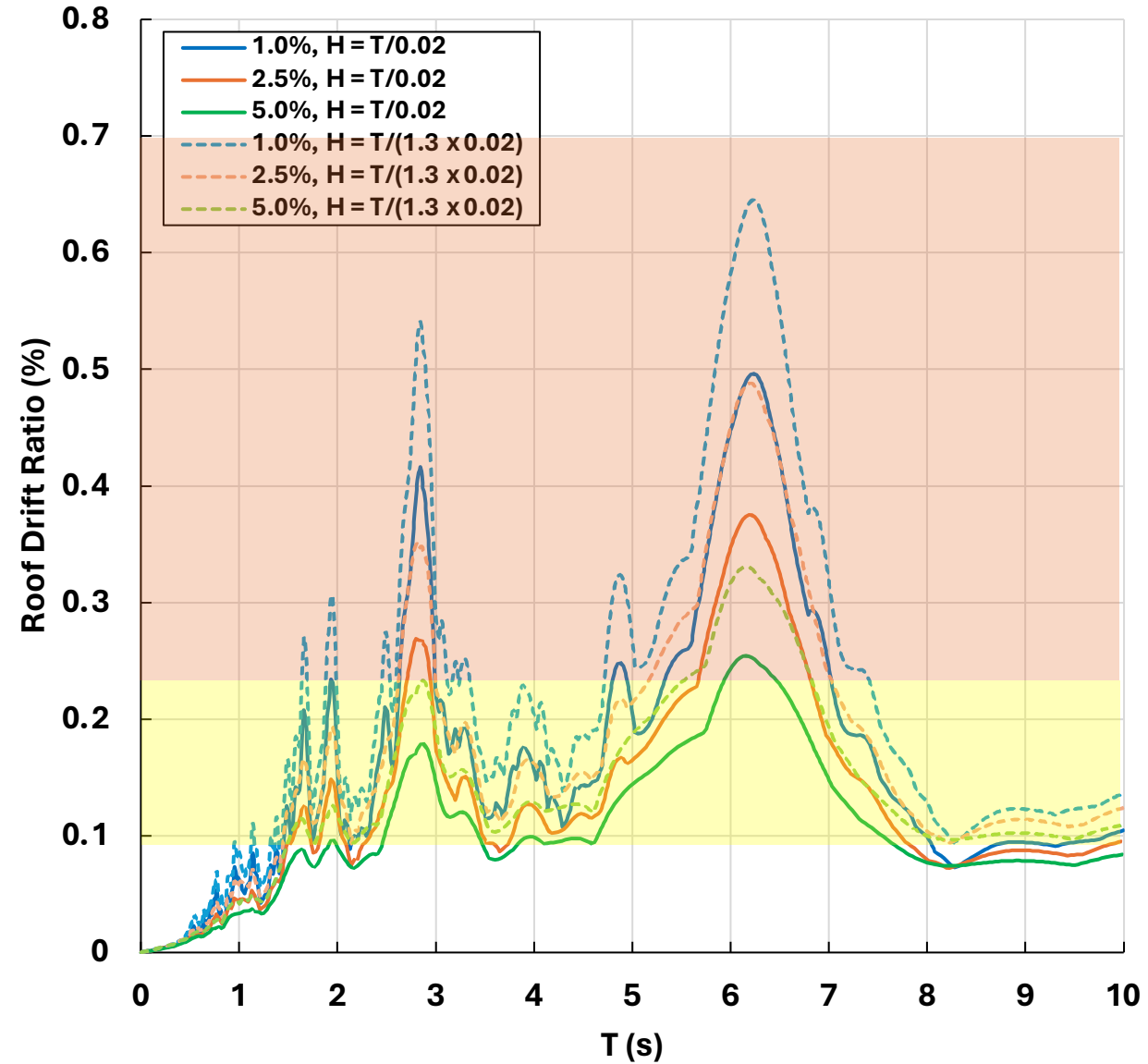
Roof Drift Ratio

Station: Department of Public Works and Town & Country Planning (PWSA)

PWSA - NE



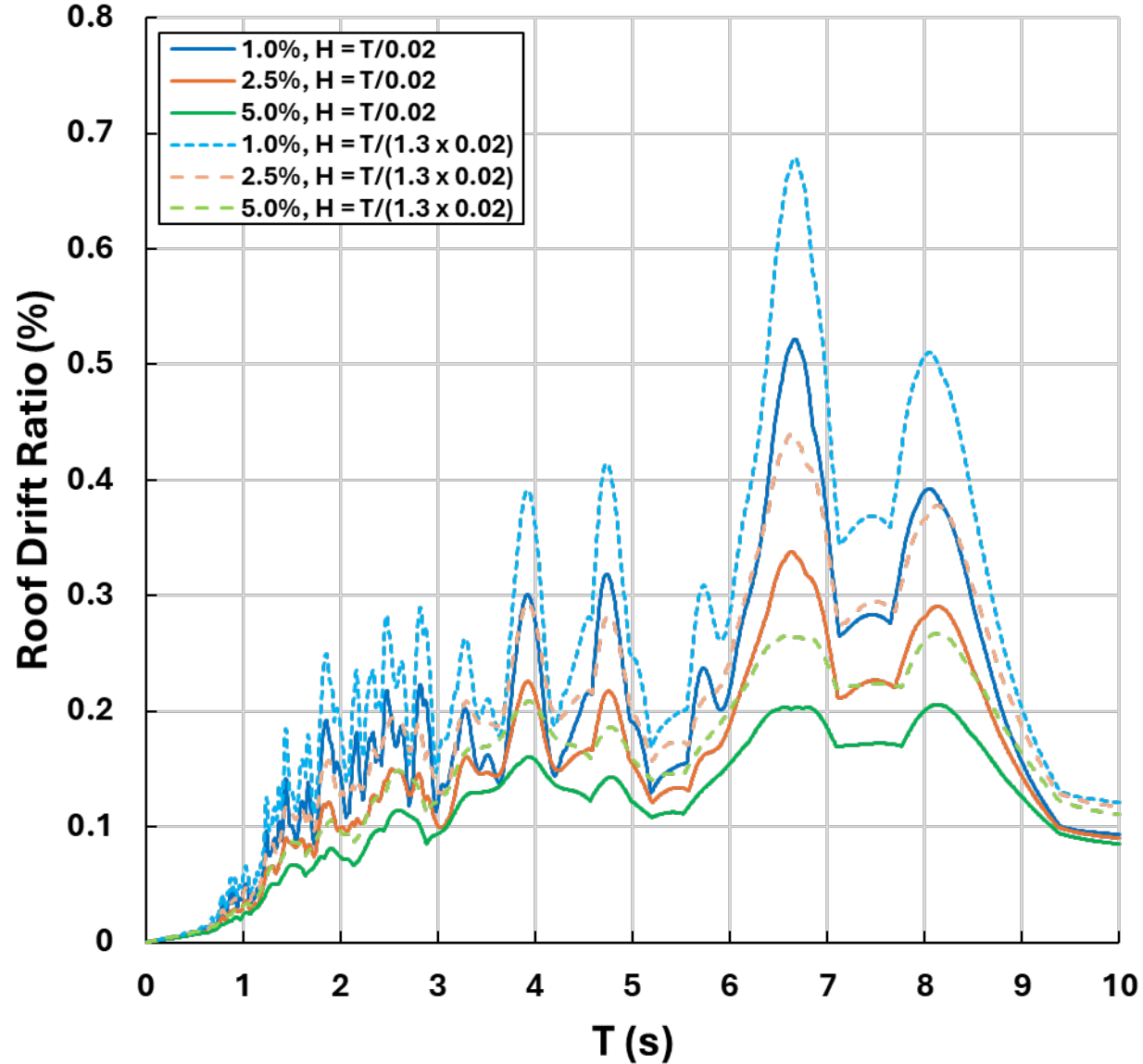
PWSA - NN



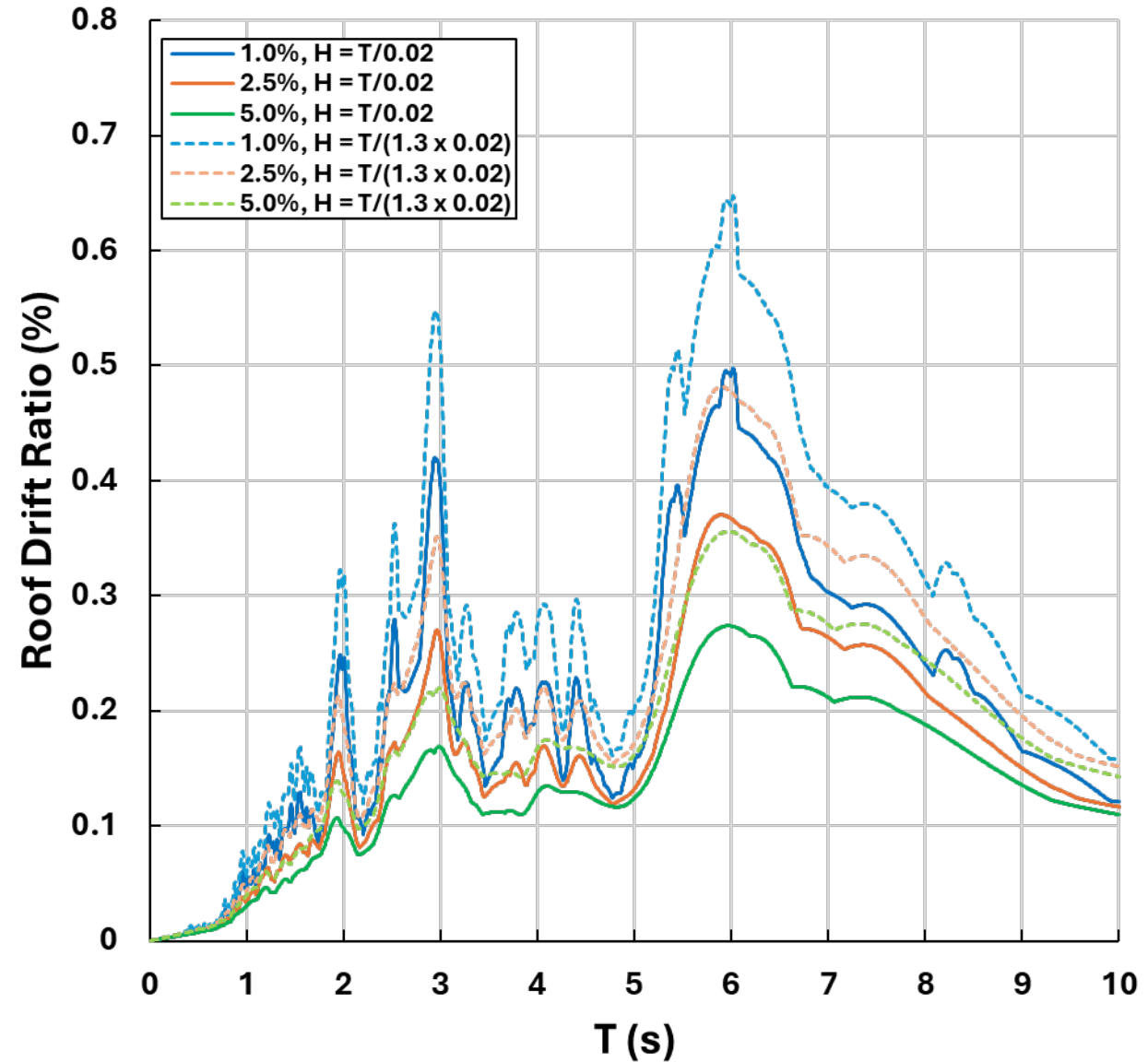
Roof Drift Ratio

Station: Queen Sirikit National Convention Center (BKSI)

BKSI - NE



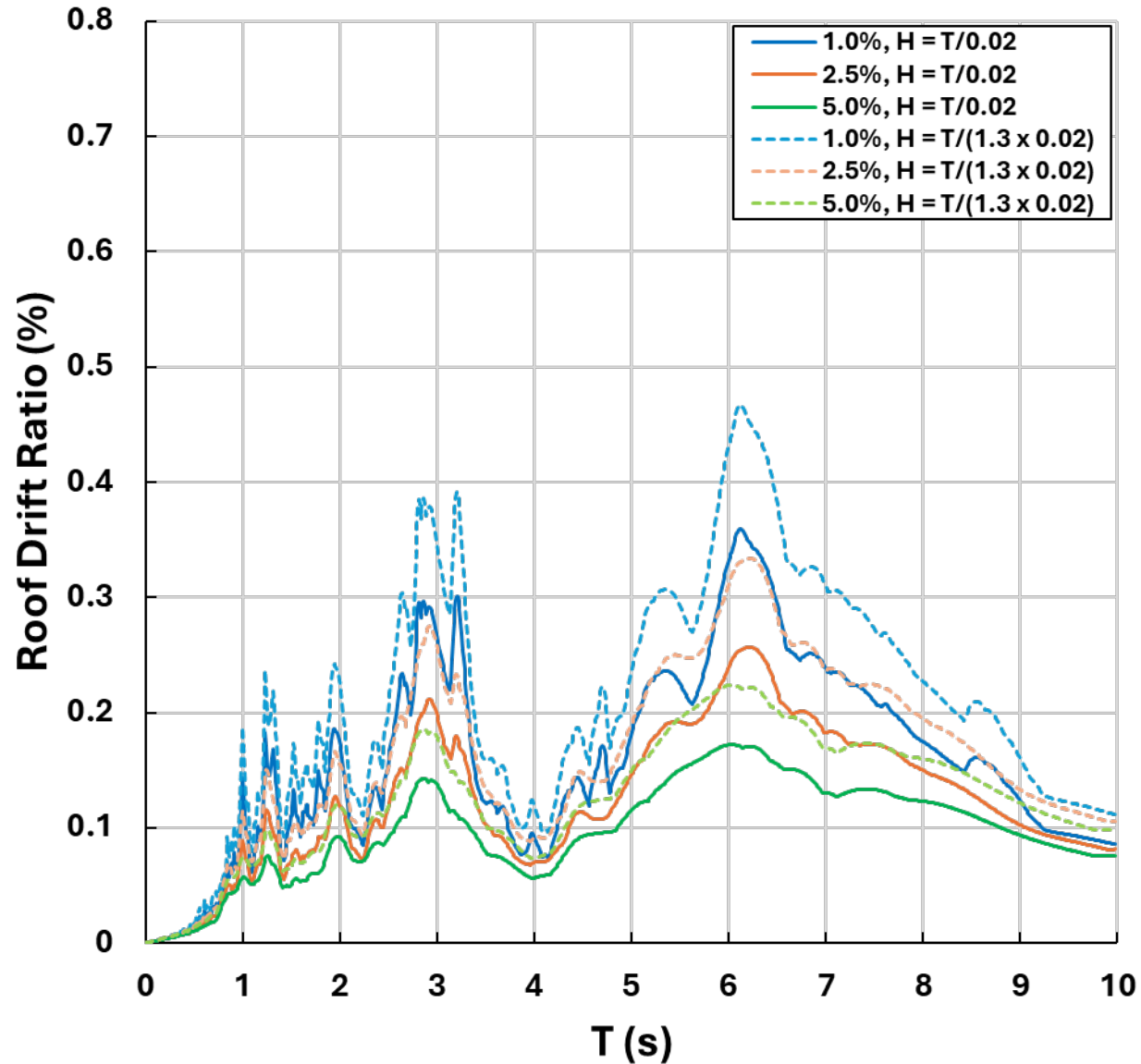
BKSI - NN



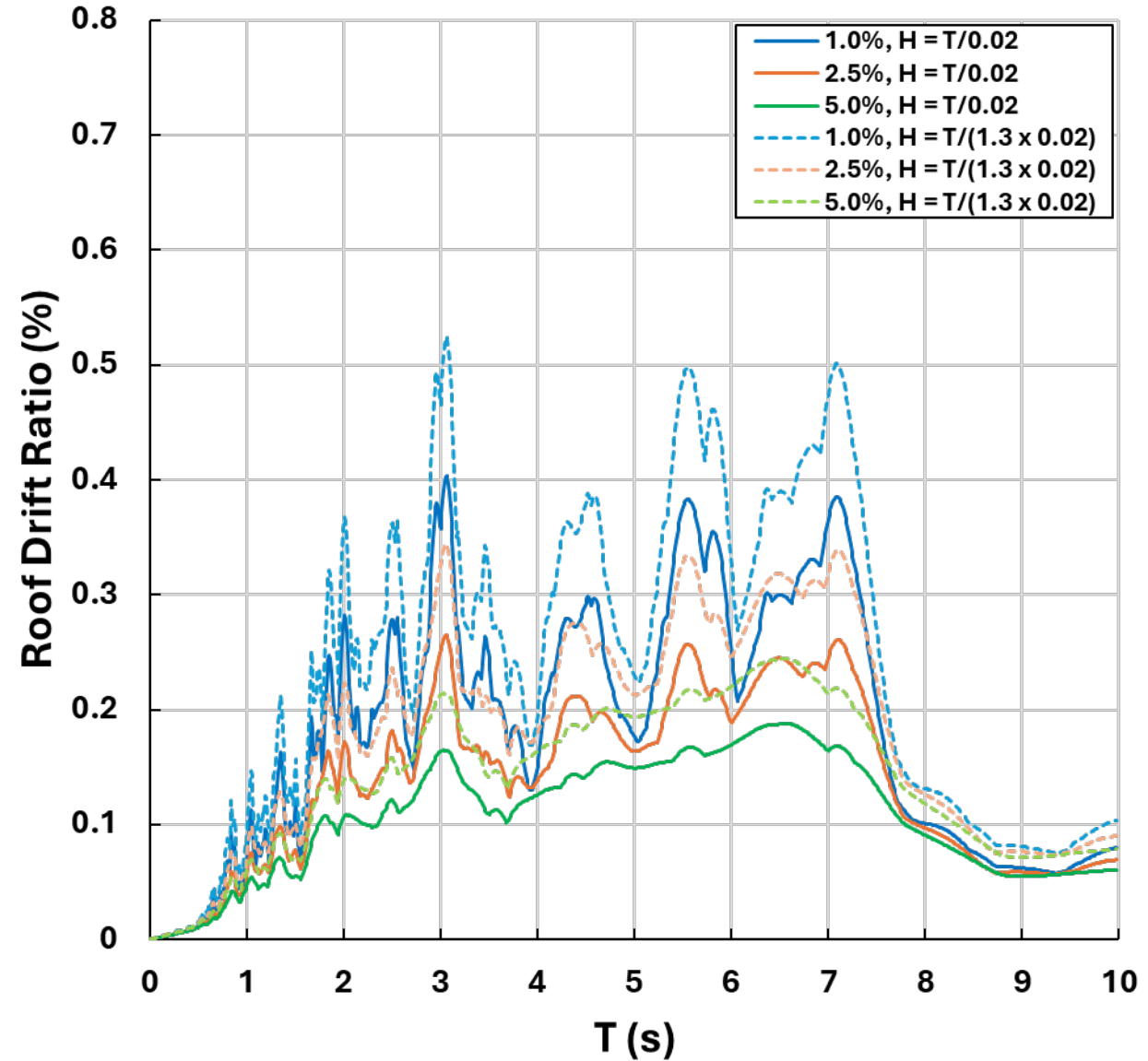
Roof Drift Ratio

Station: King Mongkut's University of Technology Thonburi (KMUA)

KMUA - NE

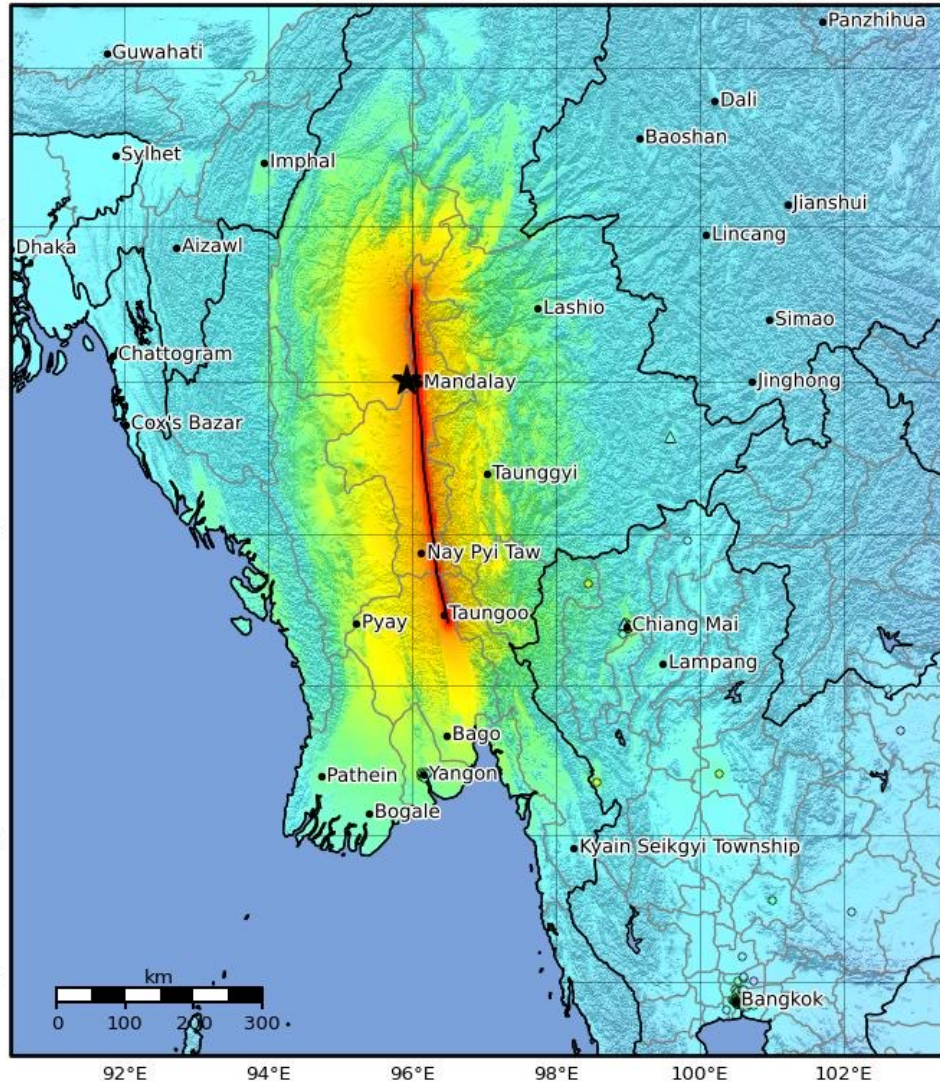


KMUA - NN



M 7.7 - 2025 Mandalay, Burma (Myanmar) Earthquake

2025-03-28 06:20:54 (UTC)
 22.013°N 95.922°E
 10.0 km depth



SHAKING	Not felt	Weak	Light	Moderate	Strong	Very strong	Severe	Violent	Extreme
DAMAGE	None	None	None	Very light	Light	Moderate	Moderate/heavy	Heavy	Very heavy
PGA(%g)	<0.0464	0.297	2.76	6.2	11.5	21.5	40.1	74.7	>139
PGV(cm/s)	<0.0215	0.135	1.41	4.65	9.64	20	41.4	85.8	>178
INTENSITY	I	II-III	IV	V	VI	VII	VIII	IX	X+

Scale based on Worden et al. (2012) Version 8: Processed 2025-03-28T18:12:21Z
 △ Seismic Instrument ○ Reported Intensity ★ Epicenter □ Rupture

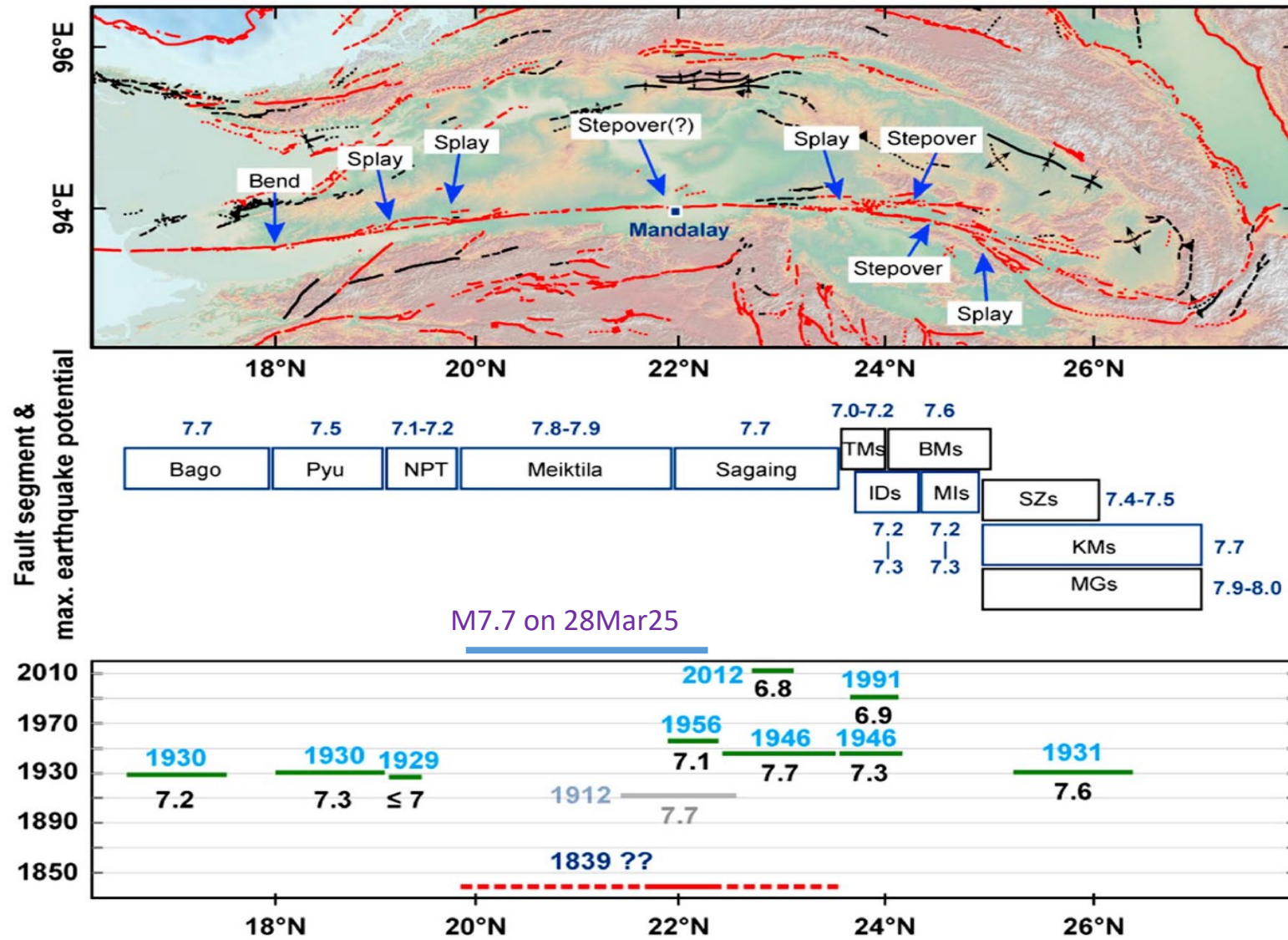
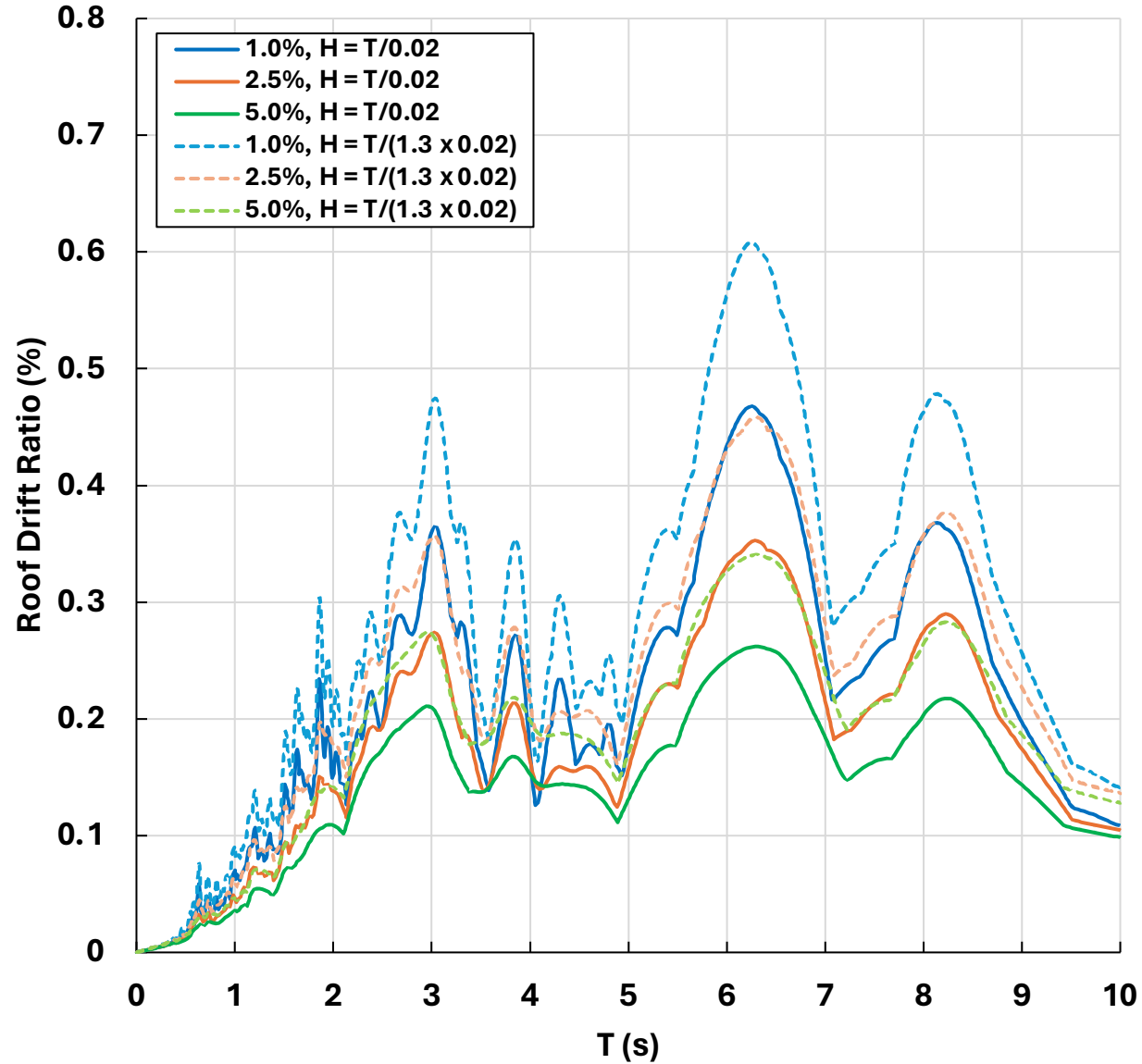


Figure 22. Map and chart of potential maximum earthquake magnitudes (M_w) associated with named segments of the Sagaing fault. Blue arrows show the boundaries of fault segments. Ruptures of the past century appear in the lower box. Green lines are the proposed rupture patches along the Sagaing fault since the beginning of the twentieth century; gray line shows the proposed rupture section along the Kyaukkyan fault, parallel to the Sagaing fault. Red line marks the possible rupture patch of the 1839 earthquake, inferred from historical data. BMs = Ban Mauk segment; TMs = Tawma segment; IDs = In Daw segment; MIs = Mawlu segment; SZs = Shaduzup segment; KMs = Kamaing segment; MGs = Mogang segment.

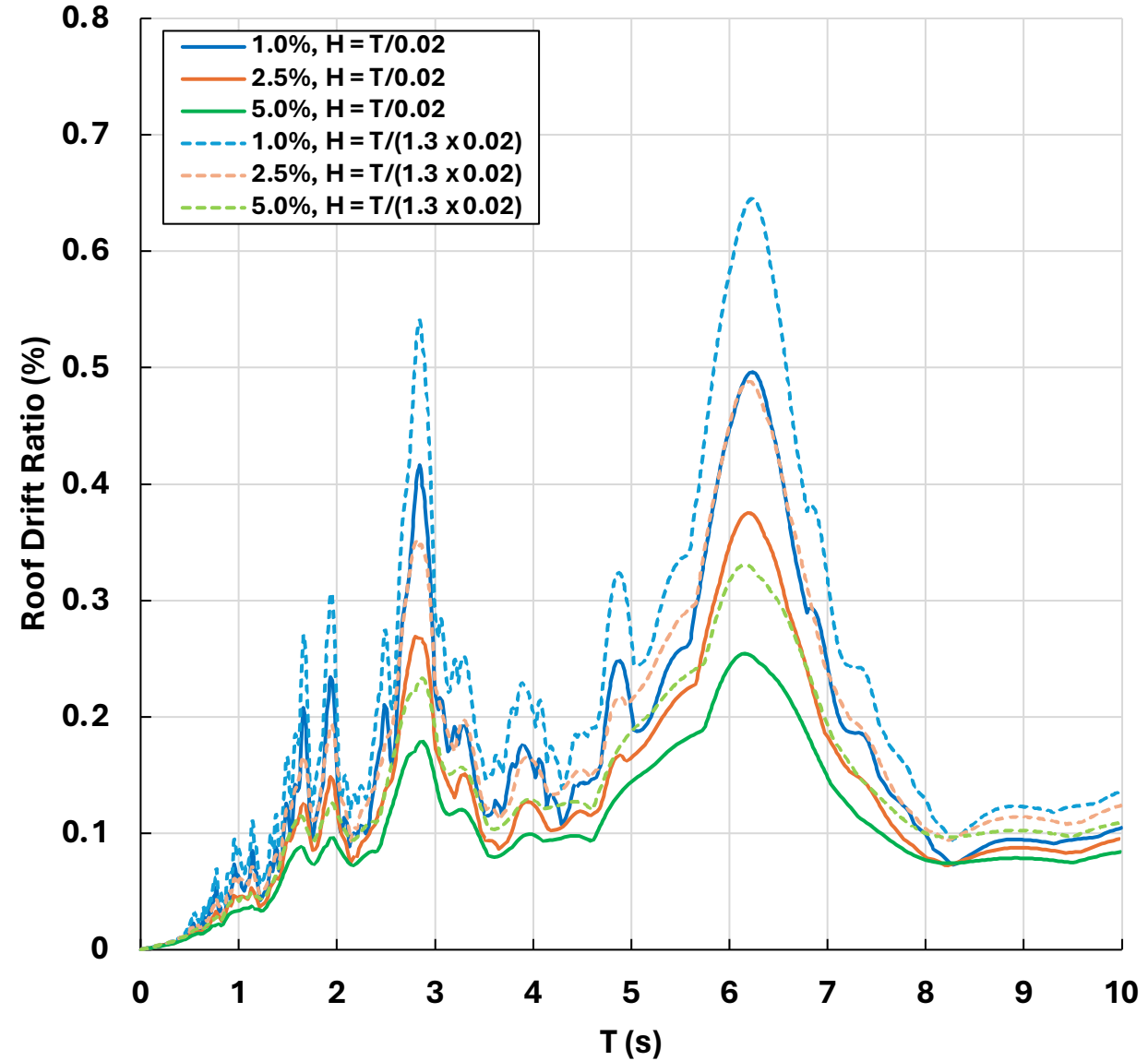
Roof Drift Ratio

Station: Department of Public Works and Town & Country Planning (PWSA)

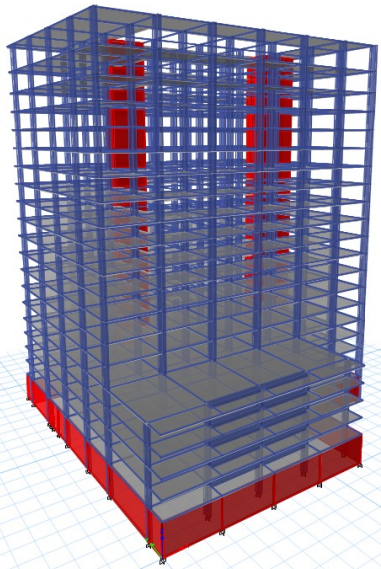
PWSA - NE



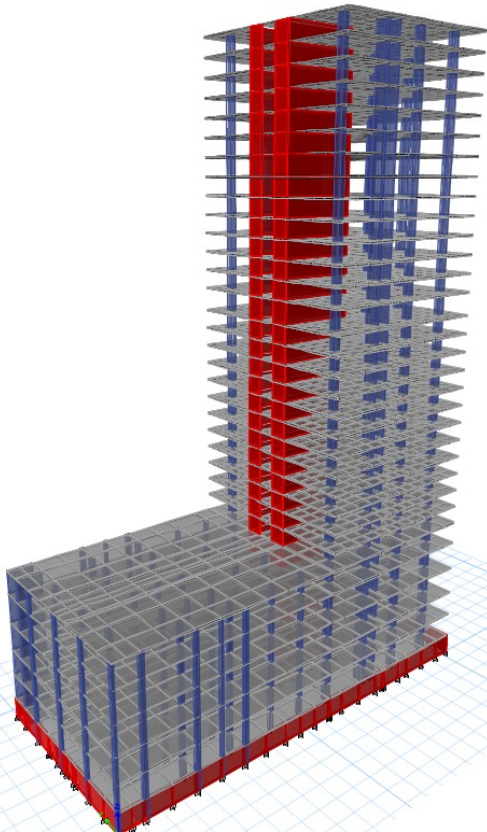
PWSA - NN



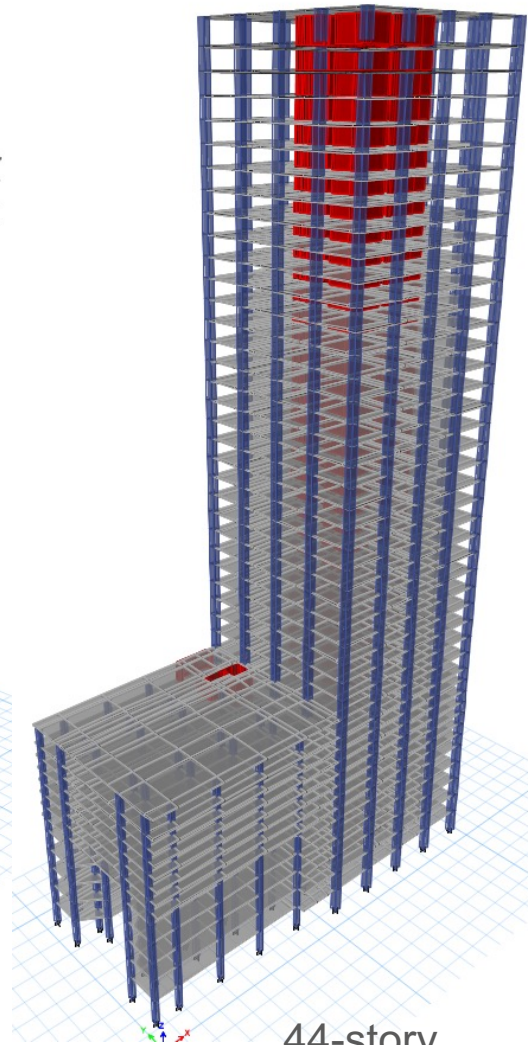
Typical Tall Buildings in Thailand



20-story
B1



33-story
B2



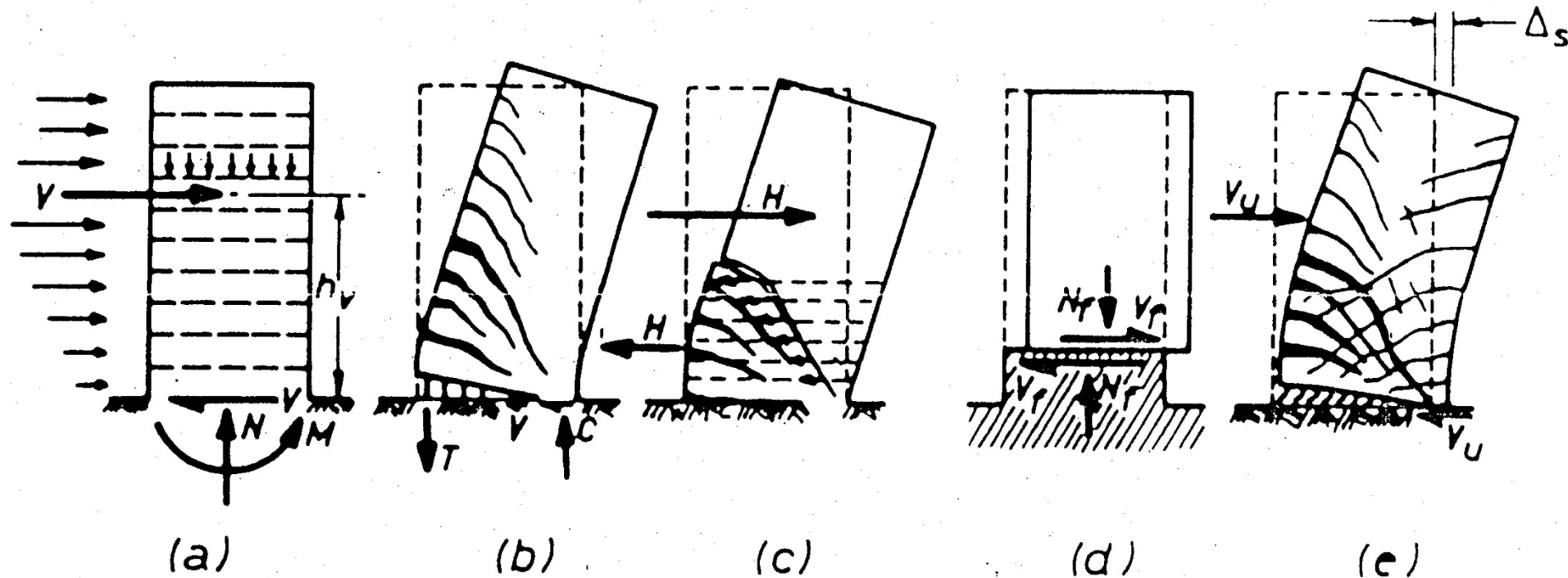
44-story
B3

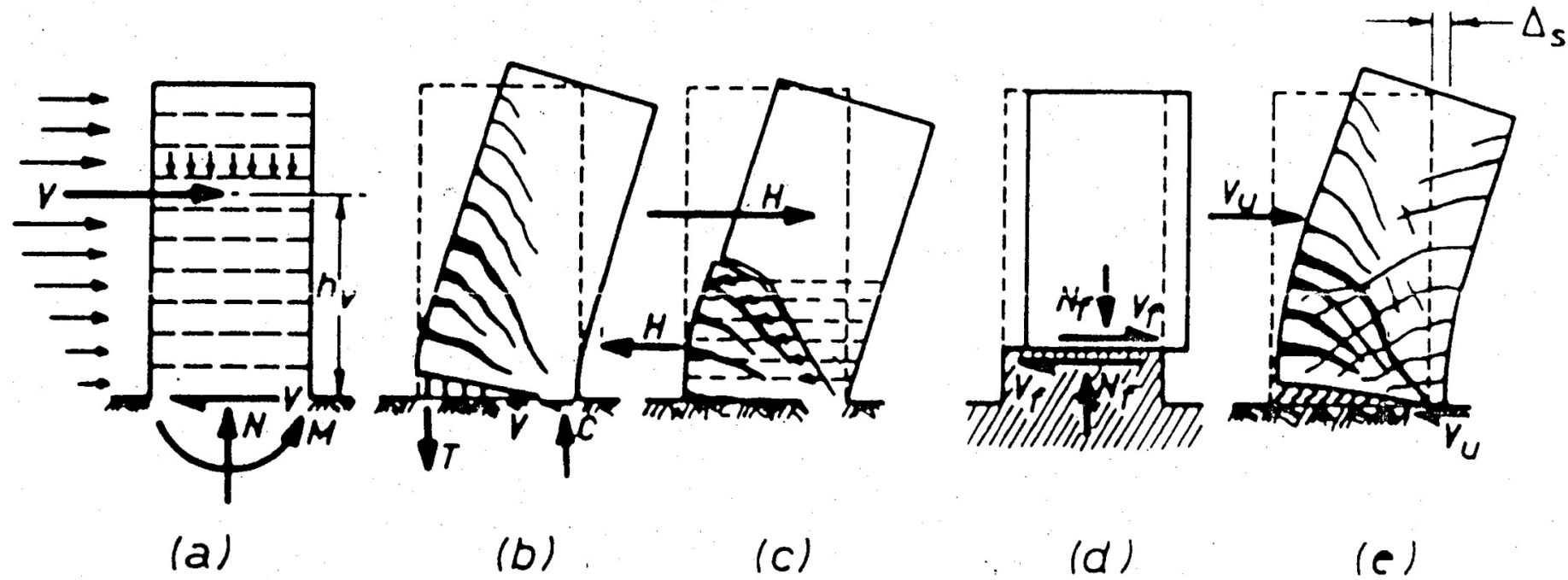
- ❑ *RC slab-column frames carry gravity loads*
- ❑ *RC walls & cores resist lateral loads*
- ❑ *Masonry infill walls extensively used*
- ❑ *Possess irregular features commonly found in typical tall buildings, e.g. podium and non-symmetrical arrangement of RC walls, etc.*

Ductile Structural Walls

A basic requirement for walls to be ductile: **a flexural plastic hinge zone should be formed at the base of the wall, and brittle failure mechanisms should not be permitted to occur.**

This is achieved by establishing a desirable hierarchy in the failure mechanics using **capacity design procedures** and by appropriate detailing of the potential plastic hinge region.

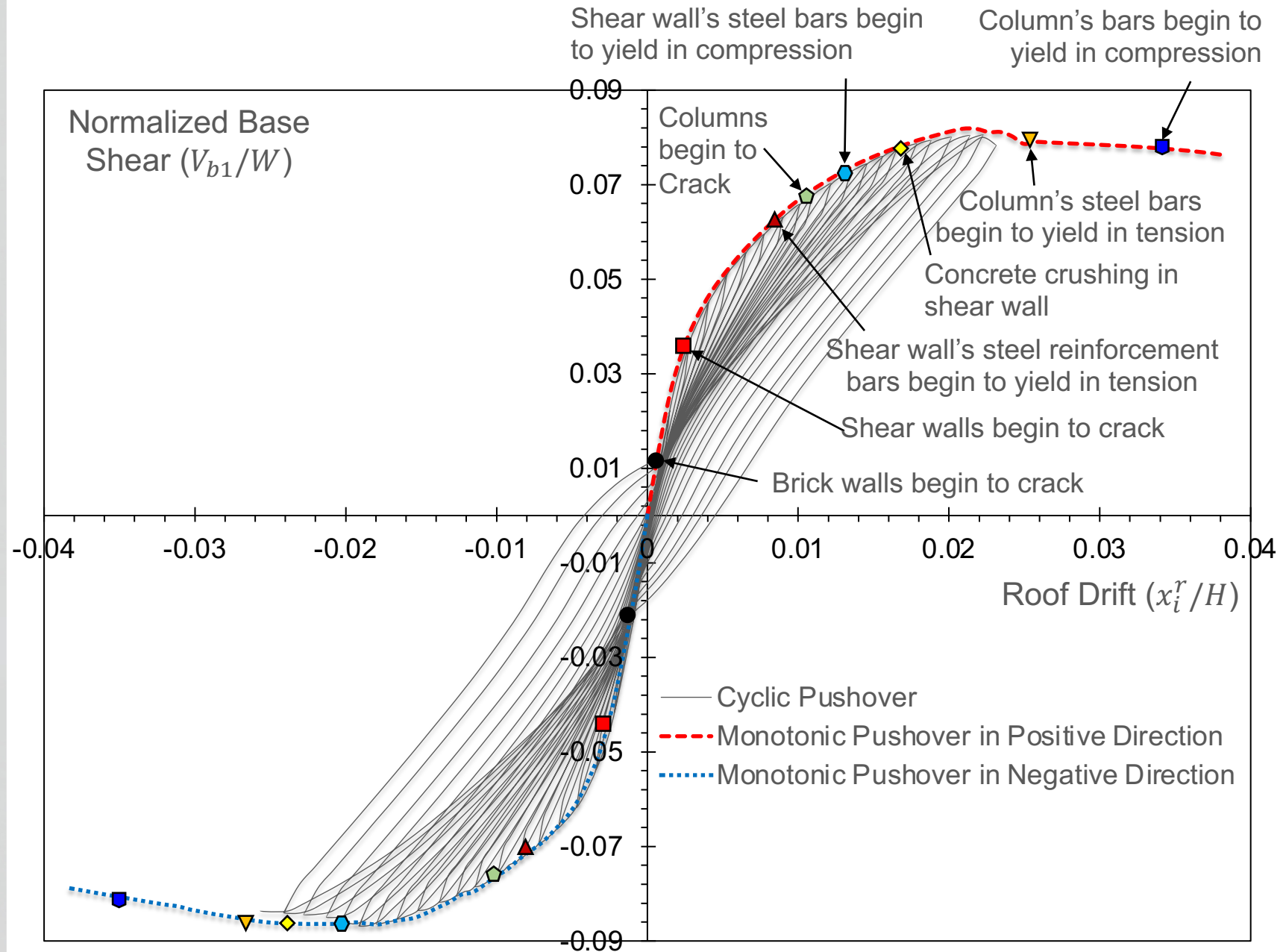




Failure modes to be prevented are:

- *Diagonal tension failure (c) caused by shear,*
- *Diagonal compression failure caused by shear,*
- *Instability of thin walled sections,*
- *Instability of the principal compression reinforcement,*
- *Sliding shear along construction joints (d),*
- *Shear or bond failure along lapped splices or anchorages (b).*

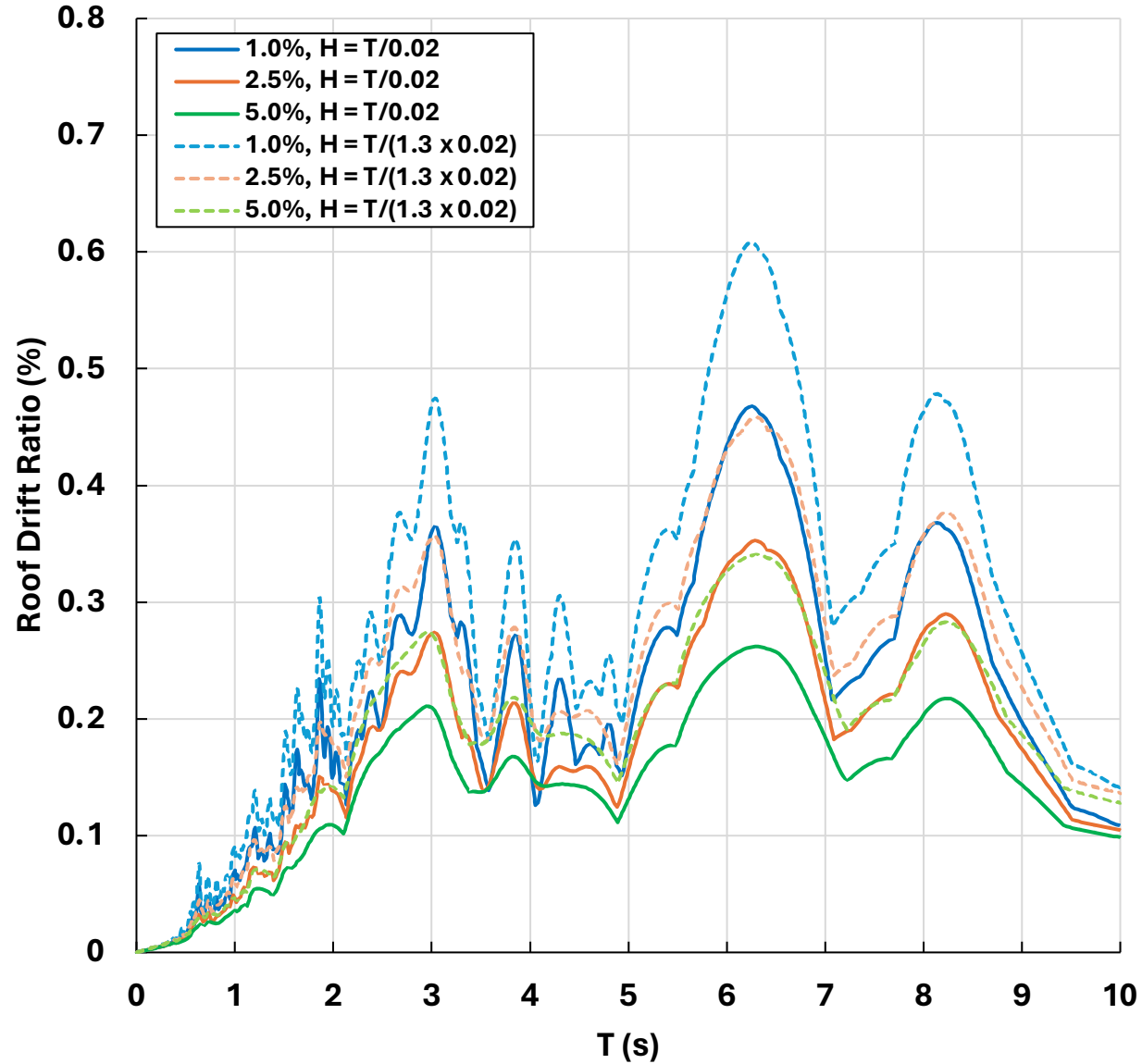
The Cyclic Behavior of A 44-Story Building with Ductile Structural Walls



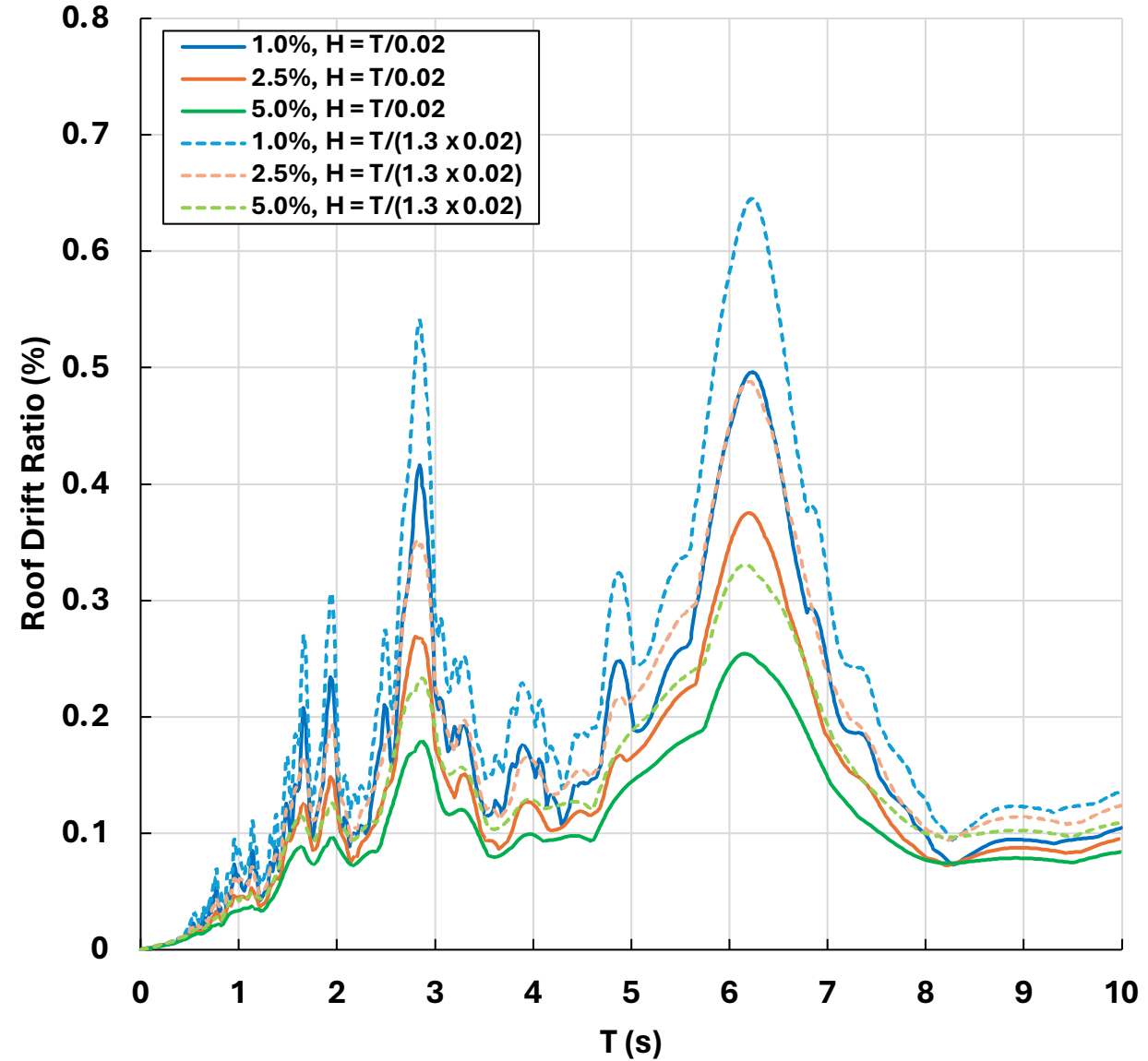
Roof Drift Ratio

Station: Department of Public Works and Town & Country Planning (PWSA)

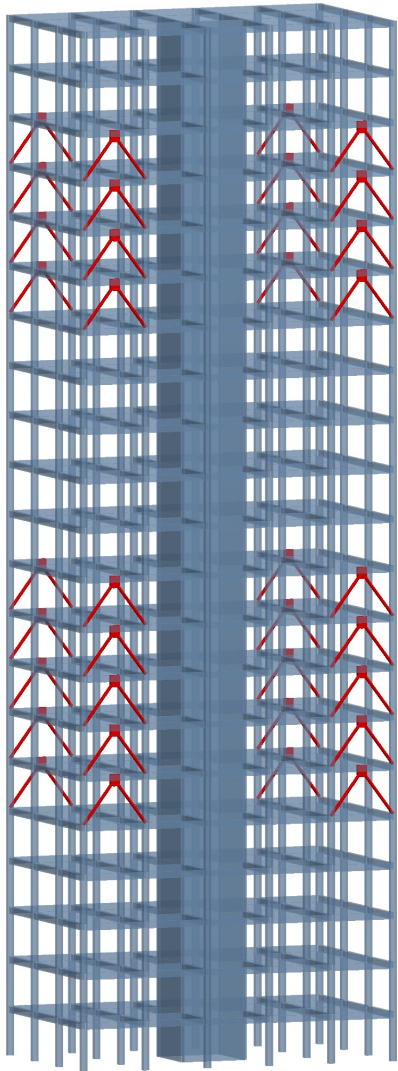
PWSA - NE



PWSA - NN



Fluid Viscous Damper (FVD) for building vibration control



https://www.linkedin.com/posts/ncsea_fluid-viscous-dampers-effectively-dissipate-activity-7146470330536968192-SYJS/



<https://doi.org/10.3390/buildings15020260>

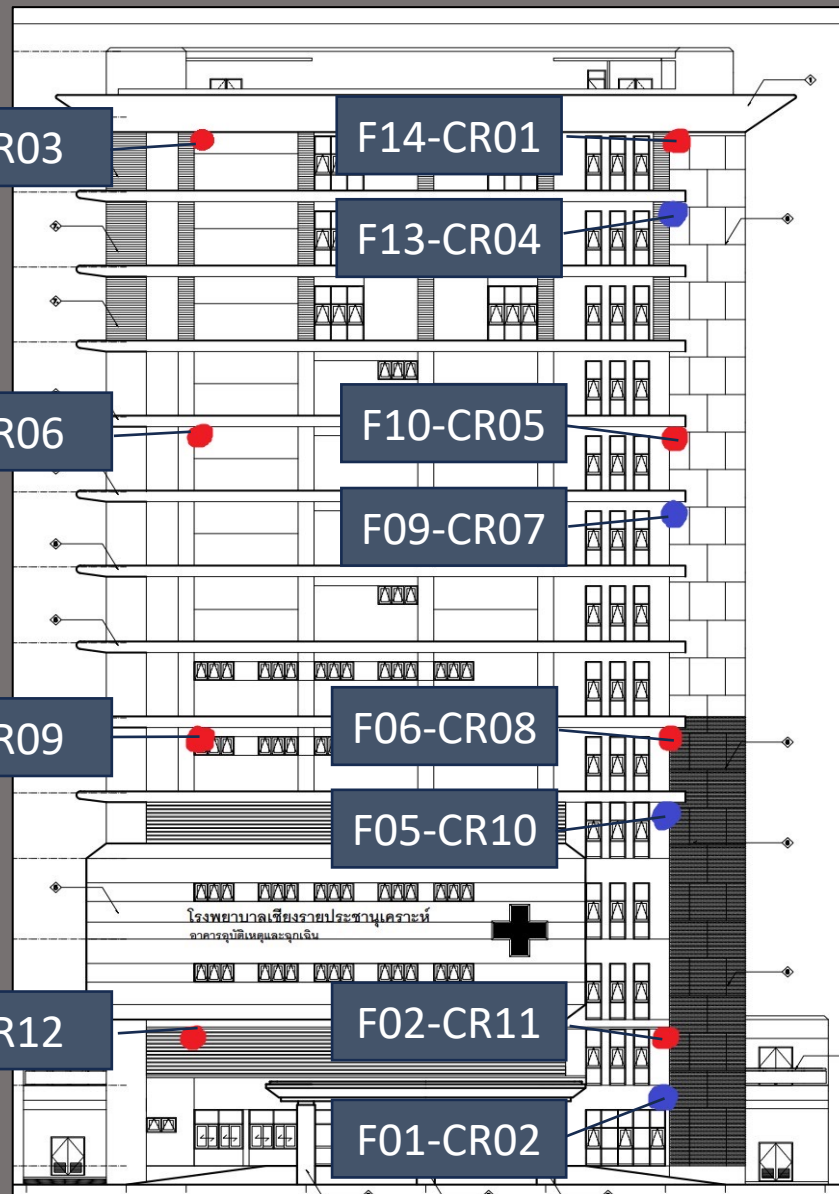


<https://ana.ir/en/news/1973/iran-among-nine-countries-holding-viscous-fluid-damper-technology>



<https://ryanrakhmats.wordpress.com/2018/04/22/fluid-viscous-damper-fvd/>

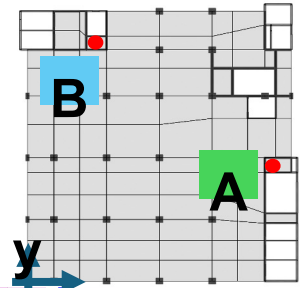
Structural Health Monitoring of A Hospital Building in Chiang Rai



Testing the SHM system & Identify Building Dynamic Properties by Human Excitation



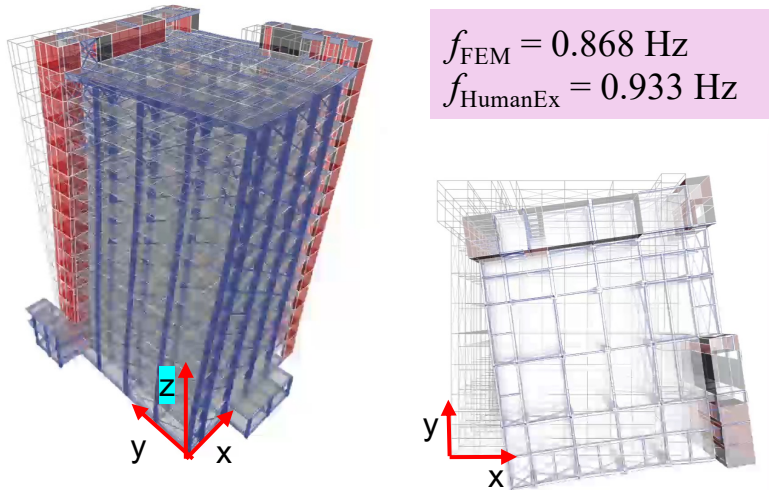
3D Mode Shape (Updated FEM Model)



HU X-dir	HU Y-dir
FEM X-dir	FEM Y-dir

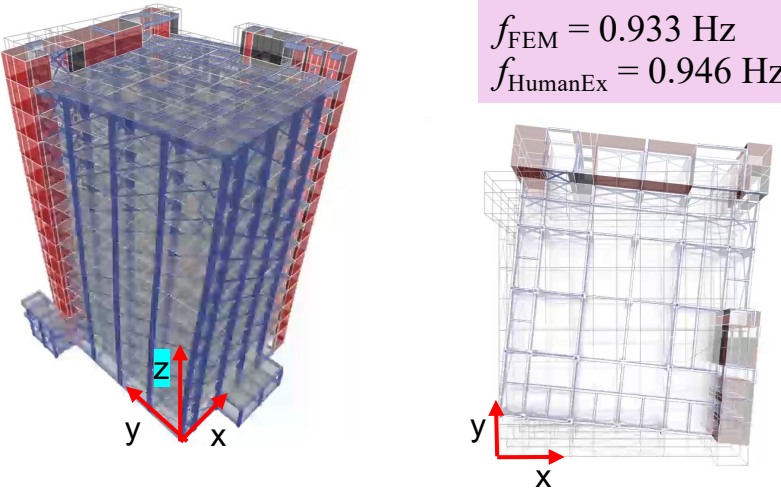
1X

$f_{FEM} = 0.868 \text{ Hz}$
 $f_{HumanEx} = 0.933 \text{ Hz}$



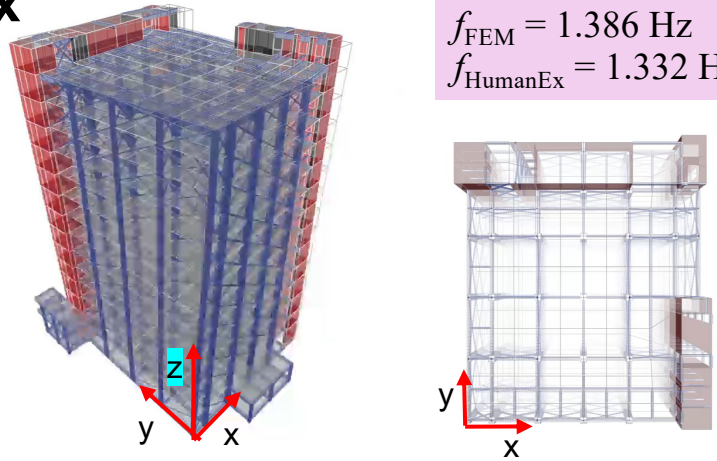
1Y

$f_{FEM} = 0.933 \text{ Hz}$
 $f_{HumanEx} = 0.946 \text{ Hz}$

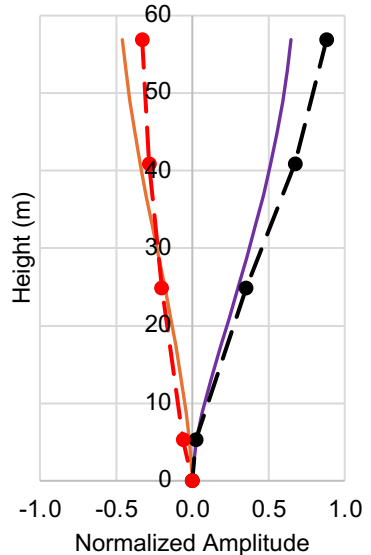


1R

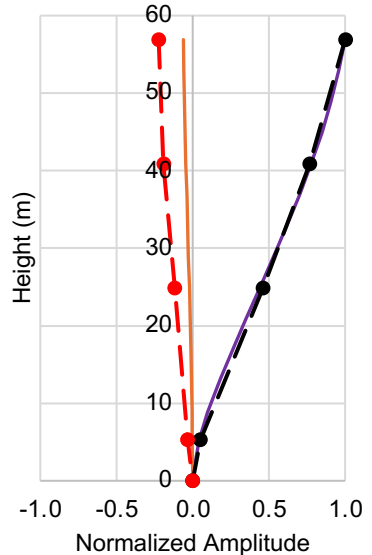
$f_{FEM} = 1.386 \text{ Hz}$
 $f_{HumanEx} = 1.332 \text{ Hz}$



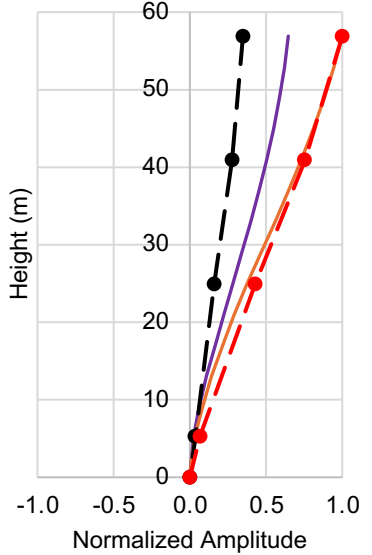
Sensor: B



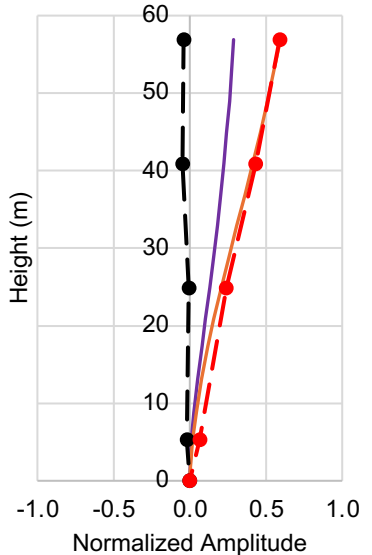
A



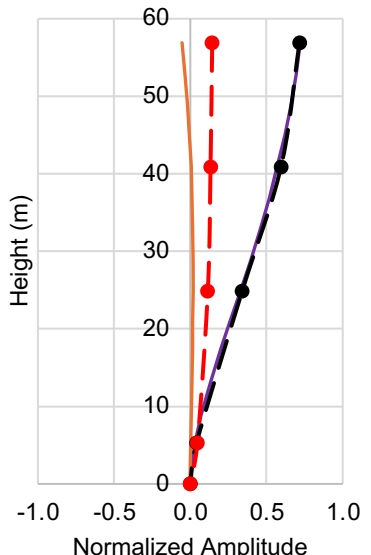
B



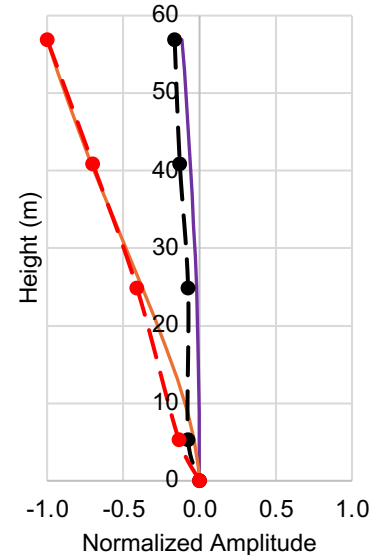
A



B



A



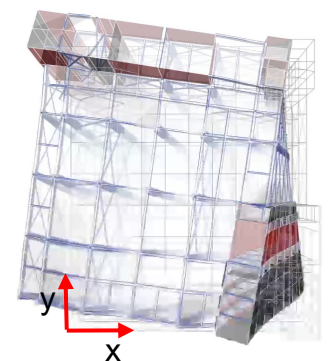
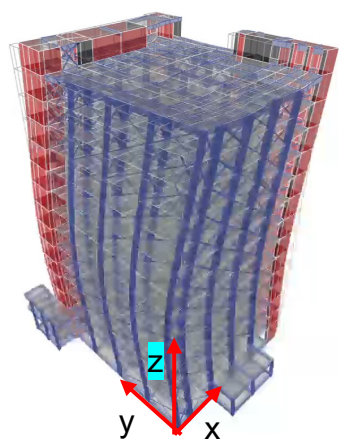
3D Mode Shape (Updated FEM Model)



2X

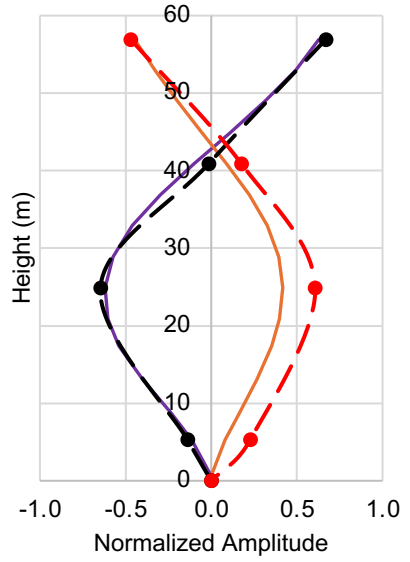
$$f_{FEM} = 2.877 \text{ Hz}$$

$$f_{HumanEx} = 2.863 \text{ Hz}$$

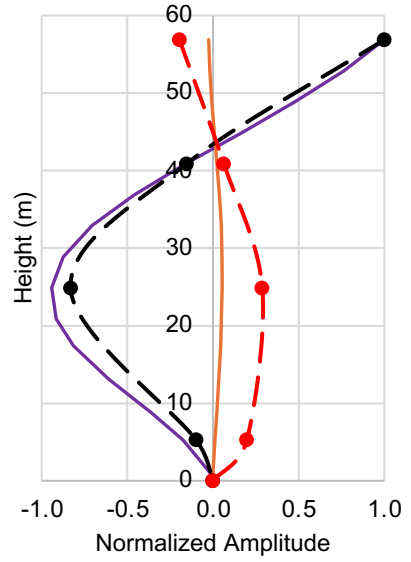


Sensor:

B



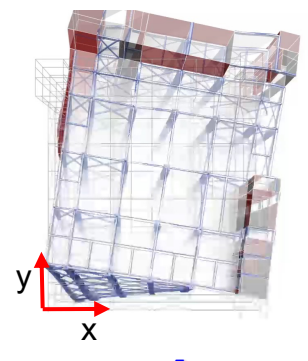
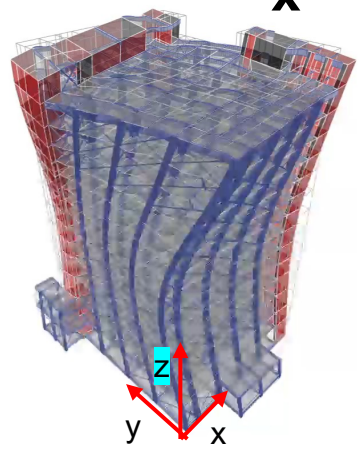
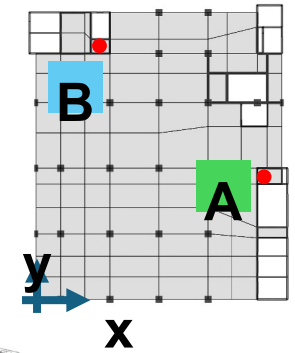
A



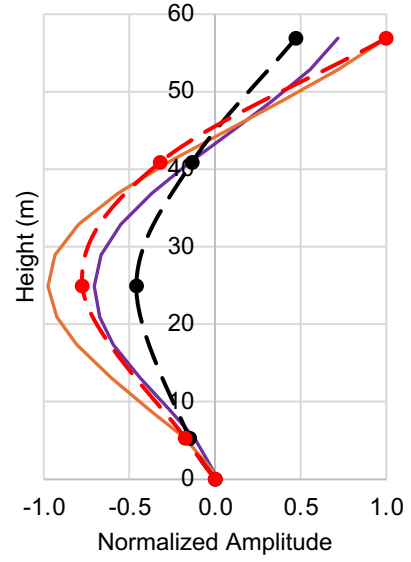
2Y

$$f_{FEM} = 3.207 \text{ Hz}$$

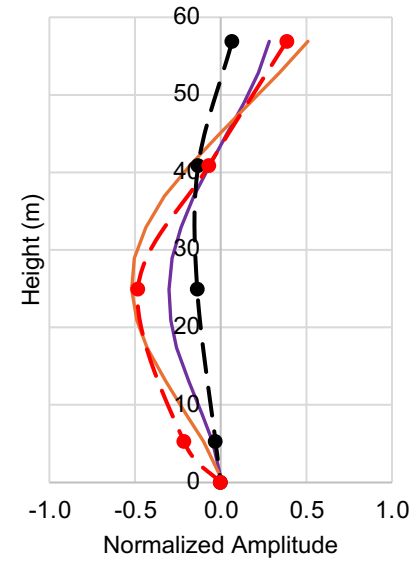
$$f_{HumanEx} = 3.084 \text{ Hz}$$



B



A



Visualization of Demand-to-Capacity Ratio of Structural Members in 3D Building Model



Column PMM D/C Ratio

